

Vysoká škola strojní a textilní v Liberci  
nositelka Řádu práce

Fakulta strojní

obor 23-20-8  
stroje a zařízení pro strojírenskou výrobu

zaměření  
stroje a zařízení pro průmyslovou dopravu

Katedra strojů průmyslové dopravy

NÁVRH HNACÍHO ÚSTROJÍ ČELNÍHO VYSOKOZDVIŽNÉHO VOZÍKU  
PRO NOSNOST 2500 kg

KSD - 093

Josef WATERS

Vedoucí práce : Doc. Ing. Oldřich Červinka CSc.  
Konzultant : Ing. Miroslav Malý

Rozsah práce a příloh

Počet stran 53  
Počet tabulek 10  
Počet diagramů 11  
Počet obrázků 14

DT 621.431

23. května 1986

Vysoká škola: VŠST Liberec

Fakulta: strojní

Katedra: strojní průmysl-dopravy

Školní rok: 1985/86

## ZADÁNÍ DIPLOMOVÉ PRÁCE

(PROJEKTU, UMĚLECKÉHO DILA, UMELECKÉHO VÝKONU)

pro Josef Waters

obor 23-20-8 stroje a zařízení pro strojírenskou výrobu

Vedoucí katedry Vám ve smyslu nařízení vlády ČSSR č: 90/1980 Sb., o státních závěrečných zkouškách a státních rigorózních zkouškách, určuje tuto diplomovou práci:

Název tématu: Návrh hnacího ústrojí čelního vysokozdvížného vozíku pro nosnost 2 500 kg

### Zásady pro vypracování:

1. Na základě literární rešerše formulujte současné směry v koncepčním uspořádání hnacího ústrojí vysokozdvížných vozíků
2. Formou konstrukční studie zpracujte různé varianty hnacích ústrojí pro vozíky o nosnosti 2 500 kg
3. Prevedte ekonomické posouzení navržených variant

VYSOKÁ ŠKOLA STROJNÍ A TEXTILNÍ  
Ústřední knihovna  
LÍBEREC 1, STUDENTSKÁ 8  
PSČ 461 17

V 101/865

QSD / SPD

Rozsah grafických prací: **výkresy nutné pro dokumentování jednotlivých variant**

Rozsah průvodní zprávy: **45 stran**

Seznam odborné literatury: **J. Semetko: Traktory a automobily  
odborné časopisy a sborníky  
prospektová a firemní literatura**

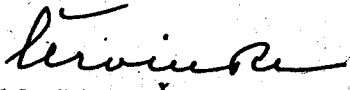
Vedoucí diplomové práce: **Doc. Ing. Oldřich Červinka, CSc.**

Konzultant: **Ing. Miroslav Malý**

Datum zadání diplomové práce: **3.12.1984**

Termín odevzdání diplomové práce: **23.5.1986**

L.S.

  
**Doc. Ing. Oldřich Červinka, CSc.**

Vedoucí katedry

  
**Doc. RNDr. Bohuslav Stříž, CSc.**

Děkan

v **Liberci** ..... dne ..... **3.12. 1984**

**Místopřísežné prohlášení**

**Místopřísežně prohlašuji, že jsem diplomovou práci  
vypracoval samostatně s použitím uvedené literatury.**

**V Liberci 23. května 1986**

*Rufek*

## OBSAH

1. Úvod . . . . .	4
2. Hlavní požadavky na hnací ústrojí . . . . .	5
3. Způsoby uspořádání hnacího ústrojí . . . . .	6
3.1. Mechanický pohon . . . . .	6
3.2. Hydropohony . . . . .	8
3.3. Elektrický pohon . . . . .	12
3.4. Kombinace předchozích a zvláštní druhy pohonu vozíku . .	13
3.5. Průběhy přenášených sil v základních uspořádáních . . .	14
4. Parametry vysokozdvižných vozíků . . . . .	15
4.1. Přehled základních parametrů vozíků různých výrobců . .	15
4.2. Návrh parametrů vysokozdvižného vozíku . . . . .	16
5. Řešení hnacího ústrojí . . . . .	16
5.1. Spalovací motor . . . . .	16
5.2. Ztráty na zvedacím a pomocném zařízení . . . . .	18
5.3. Určení potřebných obvodových sil na kole pro různé stoupavosti . . . . .	19
5.4. Hydrostatický přenos . . . . .	20
5.4.1. Varianty HsP . . . . .	20
5.4.2. Typy převodníků ZTS Dubnica n.Váhom . . . . .	23
5.4.3. Návrh č. 1. . . . .	25
5.4.4. Návrh č. 2. . . . .	30
5.5. Hydrodynamický měnič . . . . .	35
5.5.1. Obecné řešení . . . . .	35
5.5.2. Návrh č. 3. . . . .	36
5.5.3. Návrh č. 4. . . . .	42
6. Srovnání jednotlivých variant . . . . .	47
6.1. Maximální stoupavost v závislosti na hmotnosti břemene .	47
6.2. Zhodnocení . . . . .	52

### Použitá označení

SM . . . . .	spalovací motor
HdM . . . . .	hydrodynamický měnič
HG . . . . .	hydrogenerátor
HM . . . . .	hydromotor
P . . . . .	převodové ústrojí
D . . . . .	diferenciál
T . . . . .	těžiště
Q . . . . .	břemeno
$m / \text{kg} /$	hmotnost
$G / \text{N} /$	tíha
$n / \text{s}^{-1}, \text{min}^{-1} /$	otáčky
$n_{\text{mo}} / \text{min}^{-1} /$	volnoběžné otáčky motoru
$\omega / \text{s}^{-1} /$	úhlová rychlosť
$v / \text{ms}^{-1}, \text{kmh}^{-1} /$	rychlosť
$s / \% /$	stoupavost
$r_D / \text{m} /$	dynamický poloměr kola
$f / 1 /$	součinitel tření
$m_{\text{pe}} / \text{g} \cdot \text{kWh}^{-1} /$	měrná spotřeba paliva
$M / \text{Nm} /$	točivý moment
$P / \text{kW} /$	výkon
$P_p / \text{kW} /$	rohový výkon
$F / \text{N} /$	síla
$N / \text{N} /$	normálná síla
$p / \text{Pa}, \text{MPa} /$	tlak
$i / 1 /$	převodový poměr
$i_o / 1 /$	"i" mezi "SM" a přenosovým ústrojím
$\eta / \% /$	účinnost
$\alpha / {}^\circ /$	úhel sklonu stoupání
$R / 1 /$	regulační rozsah
$\varphi / 1 /$	regulační parametr
$\beta / {}^\circ /$	úhel sklonu šikmé desky u hydrostatických převodníků
$V_g / \text{m}^3 /$	geometrický objem
$m_o / 1 /$	násobnost měniče
$m / 1 /$	momentový poměr měniče

K /1/ . . . . . bezrozměrný moment měniče

k /Nm·min<sup>2</sup>/ . . . konstanta měniče

X /1/ . . . . . dynamický faktor

indexy :	v . . . . .	vozík
	u . . . . .	břemeno
	m . . . . .	motor
	1 . . . . .	vstup na přenosové ústrojí
	2 . . . . .	výstup z přenosového ústrojí
	I. . . . .	první rychlostní stupeň
	II. . . . .	druhý rychlostní stupeň
	z . . . . .	ztráty
	mech . . . . .	mechanický
	H . . . . .	hydraulický
	k . . . . .	kolo
	c . . . . .	celkový
	max . . . . .	maximální
	min . . . . .	minimální
	j . . . . .	jmenovitý
	e . . . . .	efektivní

## 1. Úvod

Vnitrozávodová doprava, spojující veškerá pracoviště závodu, je páteří komplexní organizace výroby. Musí zajišťovat celý řetěz dopravních a manipulačních prací, od vstupu materiálu do výroby, až po odvoz hotových výrobků, pomocných surovin a odpadu. Všechny rozbory dokazují, že naše vnitrozávodová doprava je v současnosti významnou rezervou při dalším zvyšování produktivity práce a snižování vlastních nákladů, a že lze dosáhnout podstatného snížení rozsahu těžkých a nebezpečných prací i snížení úrazovosti.

Hlavním činitelem, zvyšujícím úroveň manipulace s materiálem, je mechanizace, která nahrazuje ruční lidskou práci. Tuto mechanizaci představují především vysokozdvižné vozíky. Výrobou vysokozdvižných vozíků se zabývá velmi mnoho zahraničních firem a i přes jejich značnou produkci, jsou tyto vozíky stále více požadovány.

Paletizace a kontejnerizace si svými ekonomickými výsledky razí cestu ve všech oborech a přímo si vynucují potřebu vysokozdvižných vozíků. Vysokozdvižné vozíky se vyrábějí od nejnižších nosností až po nosností přes 50 tun. V ČSSR se vyrábějí vysokozdvižné vozíky čelní i boční. Paletizační vysokozdvižné vozíky jsou uzpůsobeny k samostatnému uchopení materiálu a k jeho přepravě na místo určení a také ke stohování palet a kontejnerů ve skladech, slouží tedy pro horizontální i vertikální dopravu.

Vozíky se ovšem nepoužívají jen pro dopravu v rámci závodů, ale také na překladištích při vykládce nákladních aut, vagónů, lodí a letadel. Pro různá použití jsou vozíky vybavovány celou řadou přídavných zařízení, která rozšiřují jejich pracovní možnosti.

## 2. Hlavní požadavky na hnací ústrojí:

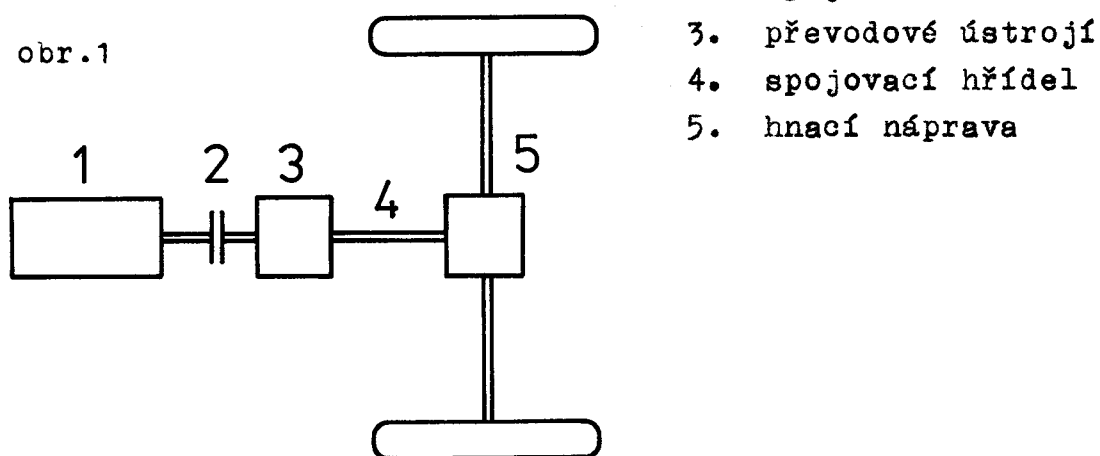
- dosažení maximální hnací síly
- maximální celková účinnost
- maximální využití výkonu pohonného agregátu
- pohodlné a jednoduché ovládání
- snadná a rychlá reverzace
- spolehlivý a bezpečný provoz
- minimální mároky na údržbu
- plynulý rozjezd vozíku
- přesné najetí na cíl při velmi malé rychlosti  
/ v žádném případě nesmí dojít k náhlému popojetí,  
nebo poskočení vozíku /
- nezmenšená pohyblivost vysokozdvižného vozíku při  
plném výkonu zdvihu
- dostatečný dojezd a maximální rychlosť

Tyto požadavky si navzájem odpovídají a nedají se všechny splnit  
beze zbytku.

### Hnací ústrojí

### Hlavní skupiny:

obr.1



1. motor

2. spojka

3. převodové ústrojí

4. spojovací hřídel

5. hnací náprava

Pohonná jednotka vysokozdvižného vozíku o nosnosti 2500 kg  
musí mít výkon okolo 50 kW při otáčkách 2000 -  $3000 \text{ min}^{-1}$ .

### 3. Způsoby uspořádání hnacího ústrojí:

- 1 / mechanický - spalovací motor, mechanické převodové ústrojí
- 2 / hydraulický - spalovací motor nebo elektromotor, mechanický převod, hydrogenerátor, hydromotor, mechanický převod
  - varianty hydraulického pohonu
    - a / hydrodynamický pohon
    - b / hydrostatický pohon
- 3 / elektrický - akumulátorová baterie, elektromotor, mechanický převod
- 4 / kombinace uvedených systémů a zvláštní druhy pohonů

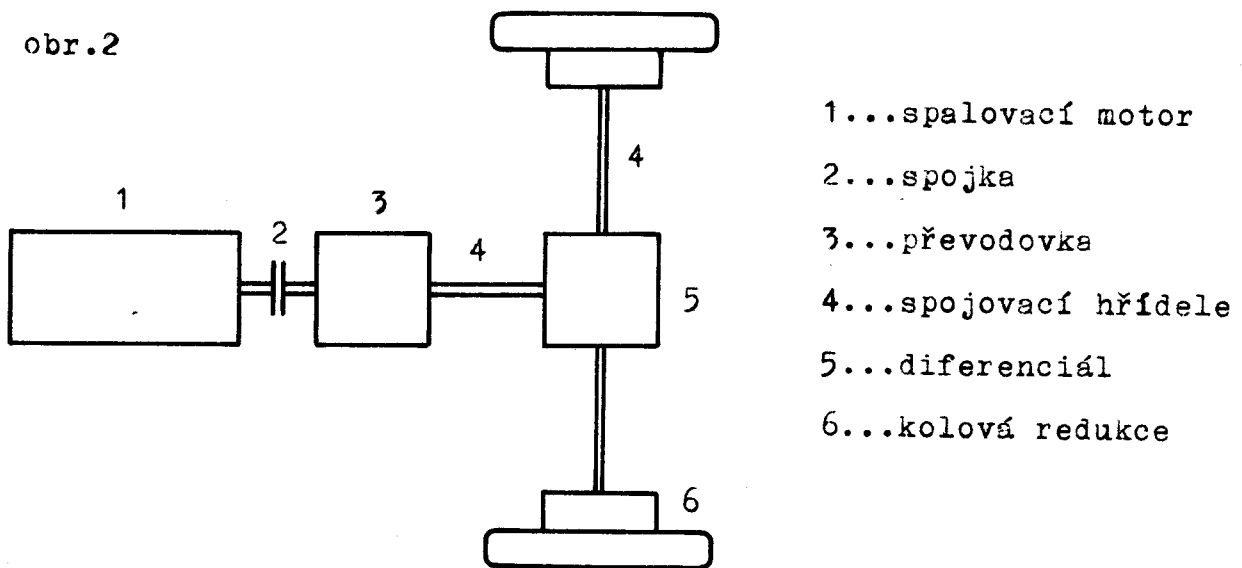
#### Základní varianty pohonu vozíků:

##### 3.1 / Mechanický pohon

Je to nejstarší druh pohonu vysokozdvižných vozíků. V současné době už nesplňuje požadavky, které jsou na pohon vozíků kladeny, a proto se používá jen výjimečně, zejména u malých a jednoduchých zařízení.

#### Schéma mechanického pohonu:

obr.2



- Spalovací motor může být zážehový, nebo vznětový. U zážehového motoru je možnost adaptace na propan-butan. Nejčastěji se používají motory vyráběné hromadně pro jiný účel, například pro automobily, nebo traktory. Motory speciálně konstruované pro vysokozdvižné vozíky jsou příliš nákladné.
- Spojka mezi motorem a převodovým ústrojím může být třecí, nebo kapalinová.
- Převodové ústrojí s ohledem na maximální využití výkonu motoru minimálně pětistupňové.
- Diferenciál a spojovací hřídele jsou u mechanického pohonu nutné.
- Kolvá redukce snižuje otáčky hřídele nápravy na otáčky kola vhodné pro dosažení požadovaného rozsahu rychlostí.

**Výhody mechanického pohonu**

- vysoká účinnost
- dobré využití výkonu motoru, ale ne ve všech režimech práce
- nízká pořizovací cena
- snadná dostupnost náhradních dílů
- jednoduchá údržba

**Nevýhody**

- složitá obsluha
- nevýhodný průběh přenášené síly
- nízká tažná síla při rozjezdu

Ve vozících vyráběných v současné době u nás, je mechanický převod nahrazován hydrodynamickým přenosem výkonu.

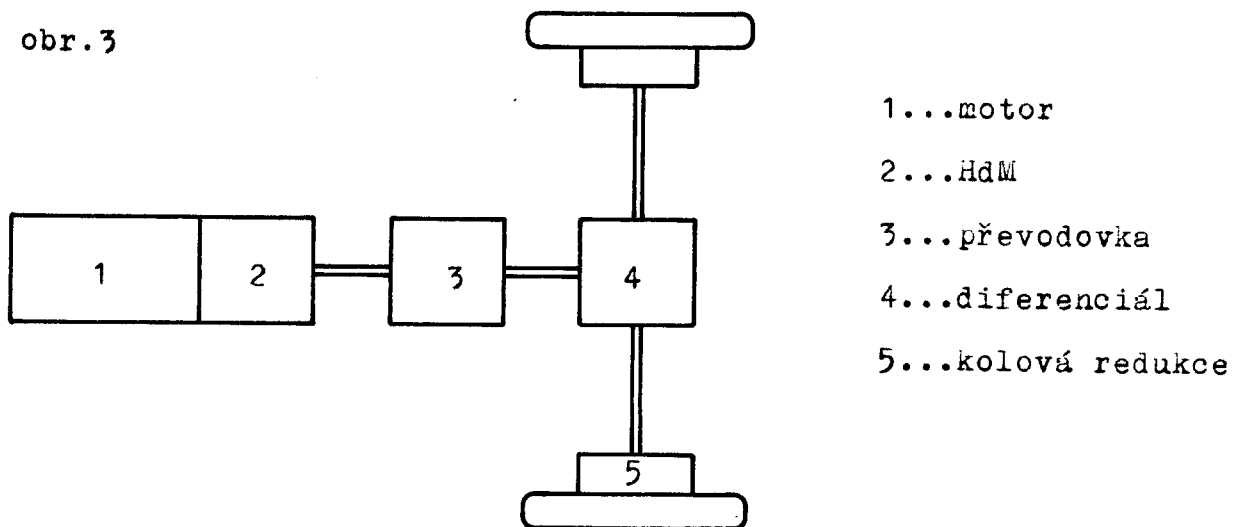
### 3.2 / Hydropohony

#### 3.2a / Hydrodynamický pohon

Tento druh přenosu výkonu je u vozíků nejrozšířenější. Jeho zavedením se zvýšil manipulační a přepravní výkon a zjednodušila se obsluha.

Schéma hydrodynamického pohonu:

obr.3



- Motor nejčastěji spalovací nebo elektrický
- Hydrodynamický měnič zde nahrazuje také spojku. Točivý moment motoru je přenášen energií udělenou kapalině čerpadlem hydraulického měniče. Tato kinetická energie je měněna zpět na mechanickou pomocí turbíny měniče. Při zatížení se při snížení otáček výstupního hřídele měniče zvýší výstupní točivý moment vlivem rozdílných otáček čerpadla a turbíny. Měnič tedy funguje jako automatická převodovka s plynule měnitelným převodovým poměrem.

Výhody hydrodynamického pohonu

- jednoduchá konstrukce
- rozvinutá výroba použitelných měničů

- dobrá účinnost v malých rychlostech
- odstranění spojkového pedálu
- plynulá změna točivého momentu
- snadnější obsluha
- dobrá dostupnost náhradních dílů
- vysoký záběrový moment

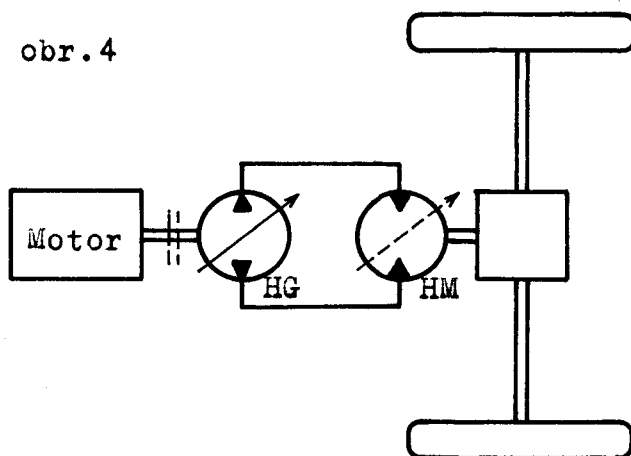
- Nevýhody**
- nižší účinnost při vyšších rychlostech
  - nutnost chlazení hydraulické kapaliny
  - změna vlastností hydraulické kapaliny v závislosti na teplotě

### 3.2b / Hydrostatický pohon

V současné době se usilovně pracuje na jeho vývoji a zdokonalování. Předpokládá se, že jeho použití bude u vysokozdvížných vozíků v budoucnu nejfektivnější.

Schéma nejčastějšího zapojení hydrostatického pohonu:

obr. 4



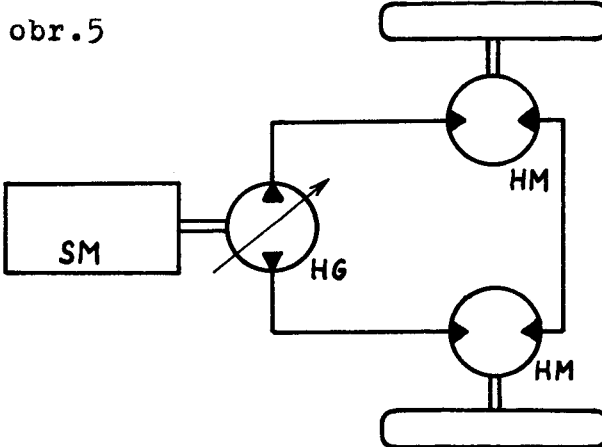
- Motor jako u hydrodynamického pohonu
- Spojka se používá jen výjimečně
- Hydrogenerátor je vždy regulační

- Hydromotor může být regulační

Pro vyšší pojezdové rychlosti vozíku je nutný regulační hydromotor, nebo stupňová převodovka mezi hydromotorem a diferenciálem.

- U hydrostatického přenosu je točivý moment od motoru přenášen hydrostatickým tlakem v kapalině. Mechanická energie se v hydrogenerátoru mění na energii tlakovou. Tlaková energie hydraulické kapaliny se v hydromotoru mění zpět na mechanickou. Hydrogenerátory jsou zpravidla pístové axiální, ale mohou být i radiální. Hydromotory axiální jsou vhodné pro vyšší otáčky, radiální pro nižší otáčky.
- Další variantou hydrostatického pohonu je t.zv. "hydrokolo."

Schéma "hydrokola":



Toto uspořádání zmenšuje zástavbové rozměry ve vozíku a vhodným propojením hydromotorů odstraňuje diferenciál.

Existují dvě možnosti - rychloběžný hydromotor + reduktor  
- pomaluběžný radiální hydromotor

Problémem hydrokola se zabýval vývojový závod ZŠS Dubnica nad Váhom, kde bylo použito hydrokol s pomaluběžnými radiálními hydromotory. Tento systém nesplňoval požadované parametry vysokozdvižných vozíků. Lepším řešením se zdají být rychloběžné hydromotory.

## Výhody hydrostatického pohonu

- velký rozběhový moment, který lze dosáhnout na rozdíl od hydrodynamického pohonu už v nízkých otáčkách hnacího motoru
- plynulá regulace rychlosti /tažné síly/ v celém rozsahu
- větší regulační rozsah než má hydrodynamický převod
- není nutná mechanická reverzace chodu
- snadné ovládání
- možnost spolupráce se zdvihacím zařízením, které je rovněž hydrostatické
- spolehlivá ochrana proti přetížení
- možnost brzdění protitlakem až na plný výkon hydrogenerátoru
- velká rychlosť reakce
- možnost libovolného rozmístění jednotlivých agregátů díky propojení hadicemi

- Nevýhody**
- nižší tažná síla při rozjezdu oproti hydrodynamickému pohonu
  - změna vlastností kapaliny s teplotou
  - nutnost pečlivé údržby
  - vyšší cena oproti mechanickým, elektrickým ale i hydrostatickým převodům
  - nutnost chlazení kapaliny

### 3.3/ Elektrický pohon

Často se používá v nižších nosnostních třídách.

- Jsou dva základní druhy zdrojů energie
- akumulátory
  - generátor poháněný spalovacím motorem

Případ, kdy vozík má generátor poháněný spalovacím motorem je zatím výjimečný, ale je to podstatně lepší řešení, než použití akumulátorové baterie, protože akumulátory jsou těžké a mají omezenou kapacitu. V současné době jsou ve vývoji nové druhy akumulátorů s neomezeným počtem pracovních cyklů, rychlým nabíjením, větší kapacitou a nevyžadují údržbu. S těmito zdroji by mohly elektrické vozíky v budoucnu konkurovat vozíkům se spalovacími motory.

#### Výhody akumulátorových vozíků

- naprosto čistý provoz
- tichý chod
- jednoduché ovládání
- nízké provozní náklady
- snadná a účinná regulace a reverzace
- brzdění motorem

#### Nevýhody

- nákladné nabíjecí stanice
- malý dojezd
- nižší maximální rychlosť

Akumulátorové vozíky se používají v uzavřených prostorách, kde jsou vysoké nároky na čistotu provozu a nízkou hlučnost - zde jsou nenahraditelné. K pohonu se nejčastěji používají stejnosměrné sériové elektromotory, pro využití brzdění motorem rekuperací je nutné používat k pohonu komoundní, cize buzené, stejnosměrné motory. Protože tyto motory mají horší charakteristiku než sériové, a zisk energie je zanedbatelný, rekuperace se ne-používá. Účinnější než stejnosměrné stroje jsou střídavé asynchronní motory, u kterých lze použít výhodnou tyristorovou pulzní regulaci. Pohon střídavým elektrickým proudem je výhodný,

pokud je zdrojem alternátor, ale lze jej použít i u akumulátorového zdroje s měničem.

Elektrické vozíky firmy STILL poháněné spalovacím motorem s generátorem vykazují podle firemní literatury až 40% úspory paliva proti ostatním vozíkům. Tyto vozíky mají dělený rotor hnacího elektromotoru místo diferenciálu.

### 3.4/ Kombinace předchozích a zvláštní druhy pohonu vozíků

#### 3.4a/ Hydraulický měnič kombinovaný s mechanickou převodovkou

Lépe se využije pohonná jednotka, zůstane jednoduché ovládání vozíku, sníží se spotřeba pohonných hmot. V podstatě tento systém znamená vyřazení hydrodynamického měniče při vyšší rychlosti /kdy má nízkou účinnost/ z činnosti, a nahrazení mechanickým převodem. Zablokování měniče může záviset buď pozne na rychlosti pohybu vozíku /například při rychlosti  $8 \text{ km} \cdot \text{h}^{-1}$ /, nebo také na poloze plynového pedálu - jeho sešlápnutím zvýšit danou hranici rychlosti /například na  $15 \text{ km} \cdot \text{h}^{-1}$ /, což lze využít ve stoupání. Naproti tomu uzavření měniče při nízkých rychlostech vede k nižší spotřebě pohonných hmot.

Mimoto je vhodné u vozíků s hydrodynamickým měničem vypouštět olej z měniče při stání. Například vždy, kdy je páka ovládající smysl jízdy v neutrální poloze. Potom je možné při zvedání břemene hnát motor plynovým pedálem až do nejvyšších otáček bez zbytečných ztrát v měniči a bez zahřívání kapaliny.

#### 3.4b/ Elektrické vozíky firmy LINDE. Energie ze střídavé sítě 380 V, se dodává kabelem odvíjeným ze samonavíjecí cívky na střeše vozíku. Zde se projevují všechny výhody elektrického pohonu a navíc ještě nízká hmotnost, a odpadá nabíjení. Ovšem vozíky se mohou pohybovat maximálně několik desítek metrů od zdroje elektrické energie.

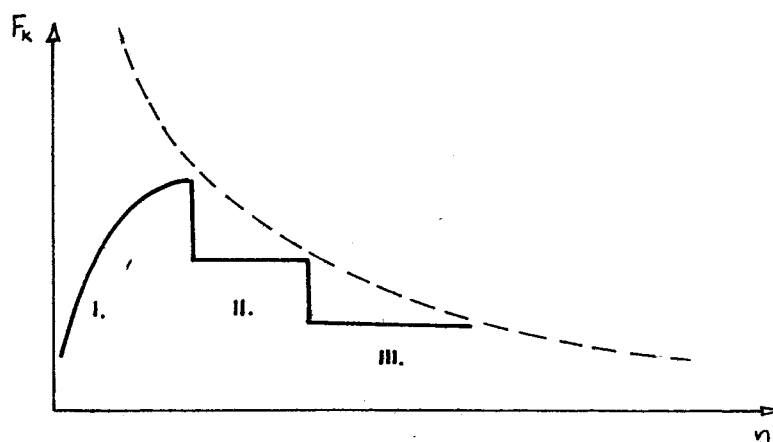
#### 3.4c/ Přístavní vozíky firmy KALMAR jsou vybaveny kombinací : Vznětový motor + setrvačník + hydrostatický převod. Energie od

motoru a brzdění vozíku se akumuluje v setrvačníku ve formě kinetické energie. Po roztočení setrvačníku nad určitou hranici se automaticky vypíná vznětový motor. Využitím brzdění se sníží spotřeba paliva /podle firemní literatury až o 20%/. Vozík může s roztočeným mechanickým akumulátorem provést požadovanou manipulaci s kontejnerem ve vnitřním uzavřeném prostoru lodě, kde by nebylo možné použít spalovací motor.

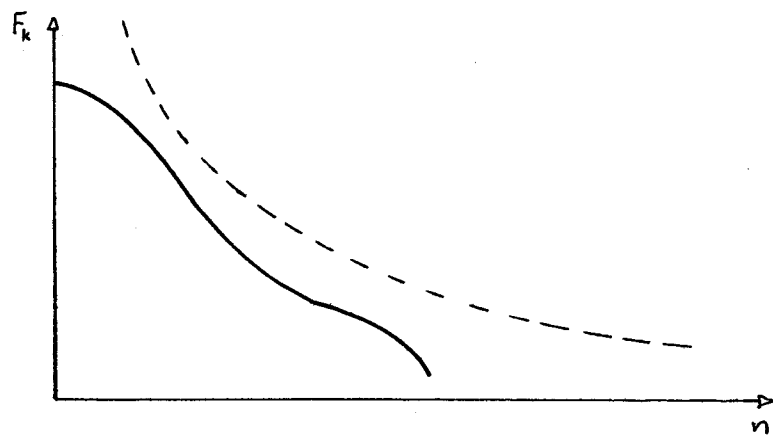
### 3.5 Průběhy přenášených sil v základních uspořádání

obr. 6

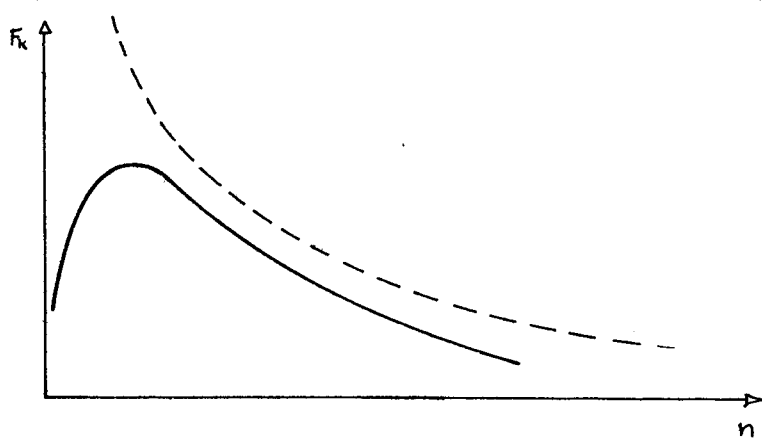
Třístupňová  
mechanická  
převodovka



Hydrodynamický  
měnič



Hydrostatický  
přenos



## 4. Parametry vysokozdvižných vozíků

## 4.1. Přehled základních parametrů vozíků různých výrobců /6,7/

tabulka 1.

Výrobce	typ	$m_u$ [kg]	$m_v$ [kg]	$v_{max}$ [kmh <sup>-1</sup> ]	$s_Q$	$s_{max}$ [%]	$s_Q$	$P_m$ [kW]	Pozn.
DESTA	DVHM 2022L	2000	3680	18		20		41	HdM+1° P
	DVHM 2522L	2500	4400	18		20		41	HdM+1° P
	DVHM 2522LX	2500	4150	18		25		47,5	HdM+2° P
	DVHM 3222L	3200	4720	18		20		41	HdM+2° P
	DVHM 3222LX	3200	4660	18		25		47,5	HdM+2° P
BALCANCAR	EV 717.33-2	2000	3500	14		-		-	el.
	EV 738-11	3000	4800	9		-		-	el.
	DV 1733	3200	4600	22		20		-	
CLIMAX	DA 2,5	2500	4375	21		-		41	
LINDE	H 20	2000	-	19		-		31	HsP
	H 25	2500	-	20		-		34	HsP
	H 30	3000	-	20		-		37	HsP
CLARK	C500 YS 60	3000	4515	19,5		23		53	
HYSSTER	60	3000	4160	22,8		22		56,6	
LANSING	R6/25	3000	4844	23		25		57,4	
LANCER BOSS	MD 6P	3000	4600	20		22		63	

## 4.2. Návrh parametrů vysokozdvižného vozíku /6,7/

### 5. Řešení hnacího ústrojí

## 5.1. Spalovací motor

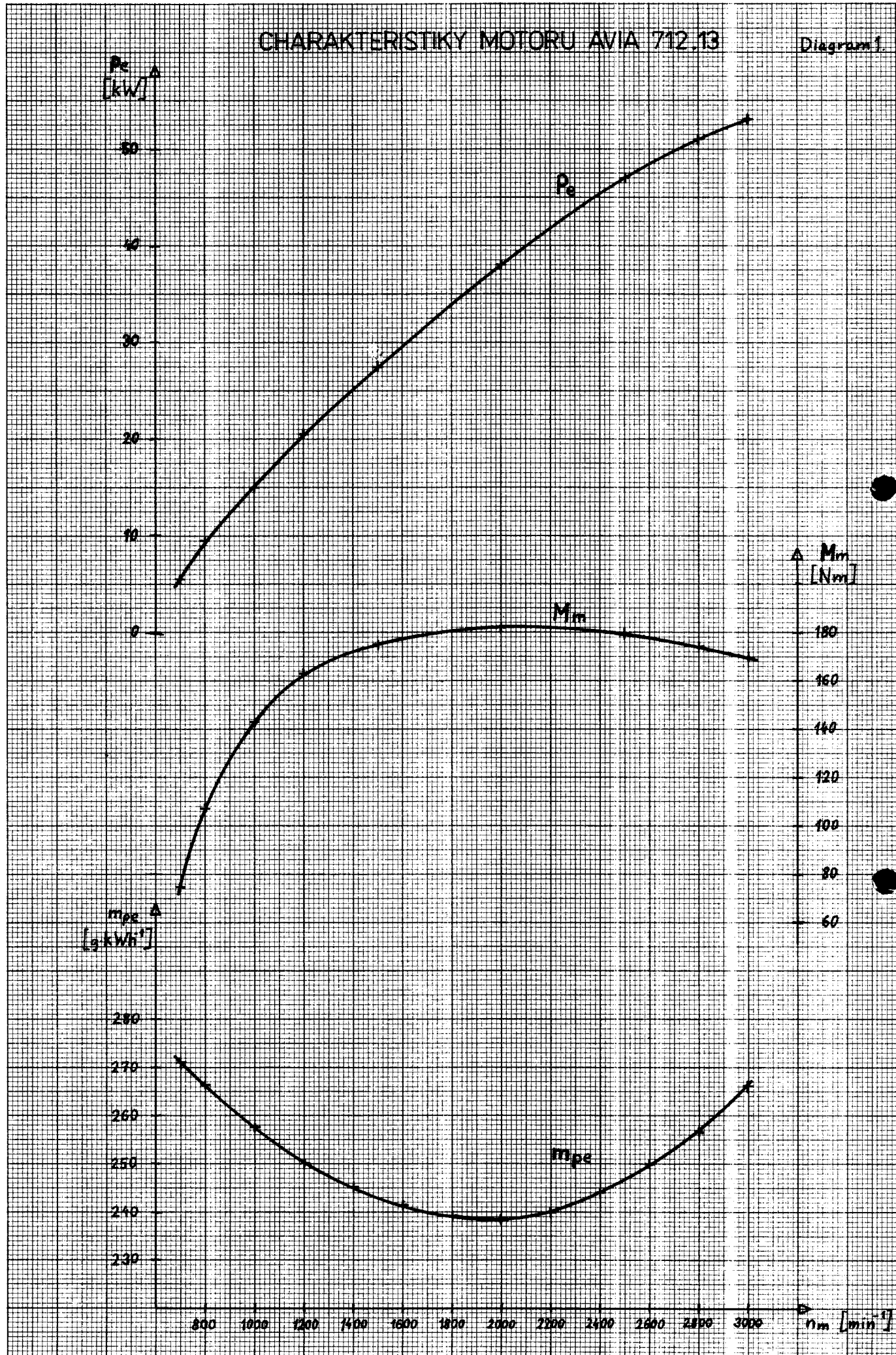
Za pohonnou jednotku pro vozík o nosnosti 2500 kg jsem vybral spalovací vznětový motor Avia 712.13 /A - 15/. Tento motor je modernější, než dosud používané motory ZETOR. Je také možné tento motor použít pro pohon řady vozíků až do nosnosti 3500 kg.

Parametry motoru potřebné pro výpočty :

- otáčky motoru při volnoběhu . . . . .  $n_{mo} = 600 \pm 50 \text{ min}^{-1}$
  - jmenovité otáčky . . . . .  $n_{mj} = 3000 \text{ min}^{-1}$
  - efektivní výkon při  $n_{mj}$  . . . . .  $P_e = 53 \text{ kW} \pm 5\%$
  - maximální točivý moment . . . . .  $M_m = 182 \text{ Nm} \pm 5\%$
  - minimální měrná spotřeba paliva . .  $m_{pe} = 239 \text{ g} \cdot \text{kWh}^{-1} \pm 5\%$
  - charakteristiky motoru . . . . . diagram č.1

# CHARAKTERISTIKY MOTORU AVIA 712.13

Diagram 1.



## 5.2. Ztráty na zvedacím a pomocném zařízení

/3/

Zvedací zařízení a pomocné zařízení /servořízení/ jsou ovládána hydraulicky , každé jedním zubovým čerpadlem . Skutečný moment přiváděný na přenosové ústrojí od motoru bude nižší, než moment motoru, o mechanické ztráty na zubových čerpadlech a o točivý moment potřebný k jejich funkci .

## a/ Mechanické ztráty na čerpadlech

$$\begin{aligned} \text{čerpadlo zvedacího zařízení} & \dots M_{z1} = 13,7 \text{ Nm} \\ \text{zubové čerpadlo pomocné} & \dots M_{z2} = 10,8 \text{ Nm} \end{aligned}$$

## b/ Parametry čerpadel

čerpadlo zvedacího zařízení ZC-62

$$Q_1 = 42 \cdot 10^{-6} \text{ m}^3 \text{ ot}^{-1}$$

$$p_1 = 0,4 \text{ MPa}$$

$$n_{1\max} = 2250 \text{ min}^{-1}$$

zubové čerpadlo pomocné

ZC-40

$$Q_2 = 26,7 \cdot 10^{-6} \text{ m}^3 \text{ ot}^{-1}$$

$$p_2 = 1,0 \text{ MPa}$$

$$n_{2\max} = 2250 \text{ min}^{-1}$$

Protože jsou maximální otáčky čerpadel nižší než maximální otáčky motoru , je nutné připojit čerpadla přes převod  $i_c$  .

$$i_c = \frac{n_{1\max}}{n_{m\max}} = \frac{2250}{2800} = 0,8$$

Hydraulická účinnost čerpadel  $\eta_H = 0,9$

c/ Ztrátové výkony při otáčkách motoru  $n_m = 2800 \text{ min}^{-1}$

$$P_{z1} = \frac{p_1 \cdot Q_1 \cdot i_c \cdot n_m}{\eta_H} = \frac{0,4 \cdot 10^6 \cdot 42 \cdot 10^{-6} \cdot 0,8 \cdot 2800}{0,9 \cdot 60} = 443,0 \text{ W}$$

$$P_{z2} = \frac{p_2 \cdot Q_2 \cdot i_c \cdot n_m}{\eta_H} = \frac{1 \cdot 10^6 \cdot 26,7 \cdot 10^{-6} \cdot 0,8 \cdot 2800}{0,9 \cdot 60} = 1742,2 \text{ W}$$

Ztrátový výkon obou čerpadel

$$P_z = P_{z1} + P_{z2} = 443,0 + 1742,2 = 2185,2 \text{ W}$$

d / Ztrátový moment

$$M_{zt} = \frac{P_z}{2 \cdot \pi \cdot n_m} = \frac{2185,2 \cdot 60}{2 \cdot \pi \cdot 2800} = 7,45 \text{ Nm}$$

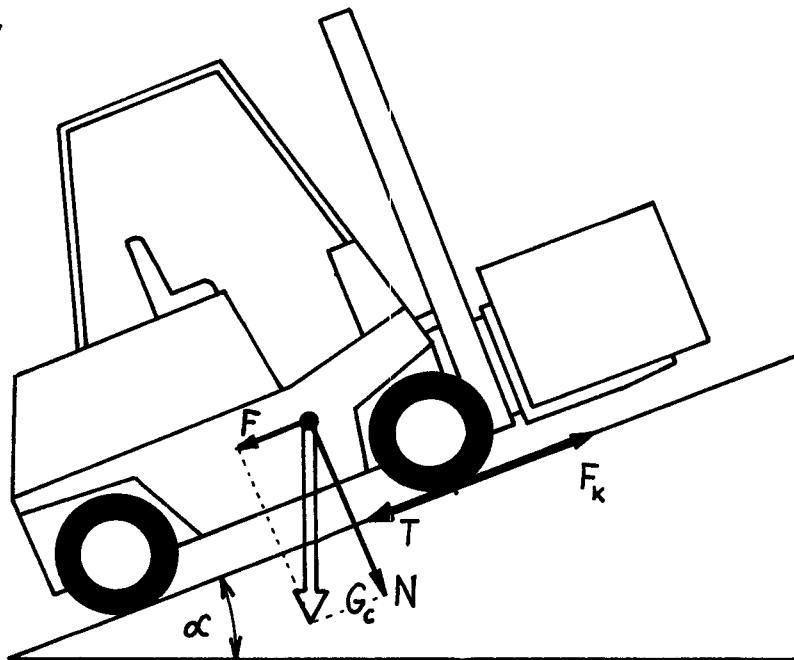
e / Celkový ztrátový moment

$$M_z = M_{zt} + M_{z1} + M_{z2} = 7,45 + 13,7 + 10,8 = 32 \text{ Nm}$$

### 5.3. Určení potřebných obvodových sil na kole pro různé stoupavosti

/4/

obr.7



$$F = G_c \cdot \sin \alpha$$

$$N = G_c \cdot \cos \alpha$$

$$T = N \cdot f$$

$$F_k - F - T = 0$$

$$F_k - G_c \cdot \sin \alpha - f \cdot G_c \cdot \cos \alpha = 0$$

Celková hmotnost vozíku - s břemenem Q:  $m_c = m_u + m_v = 2500 + 4000 = 6500 \text{ kg}$

$$G_c = g \cdot m_c = 9,81 \cdot 6500 = 63765 \text{ N}$$

$$\text{-bez břemene} \quad m_c = m_v = 4000 \text{ kg}$$

$$G_c = g \cdot m_c = 9,81 \cdot 4000 = 39240 \text{ N}$$

Stoupavost  $s = \tan \alpha$   $\alpha \dots \text{úhel sklonu stoupání}$

Síla na kole  $F_k = G_c / \sin \alpha + f \cdot \cos \alpha$

Součinitel tření  $f = 0,03$

Hodnoty  $F_k$  pro různá "s" jsou uvedeny v tabulce 2.

tabulka 2.

$s [\%]$	$\alpha [^{\circ}]$	$F_k [kN] sQ$	$F_k [kN] bez Q$
0	0,000	1,91	1,18
1	0,573	2,55	1,57
2	1,146	3,19	1,96
3	1,718	3,82	2,35
4	2,291	4,46	2,75
5	2,862	5,10	3,14
10	5,711	8,25	5,08
15	8,531	11,35	6,99
20	11,310	14,38	8,85
25	14,036	17,32	10,66
30	16,700	20,16	12,40
35	19,290	-	14,07
40	21,801	-	15,67
45	24,228	-	17,18
50	26,565	-	18,60
55	28,811	-	19,94

## 5.4. Hydrostatický přenos

### 5.4.1. Varianty HsP

a / Neregulační - je pro pohon mobilních strojů nepoužitelný.

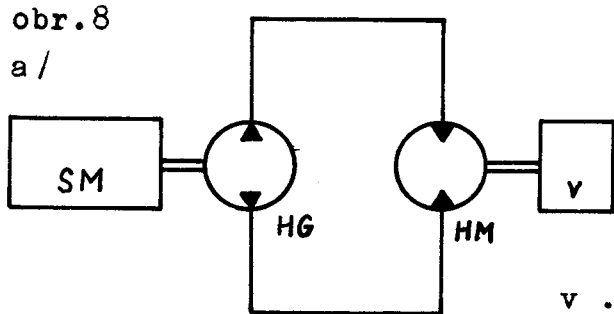
b / S regulačním hydrogenerátorem

$$\text{regulační rozsah } R_H = R_{HG} = \varphi_{1\min}^{-1} \quad \varphi_{1\max} = 1$$

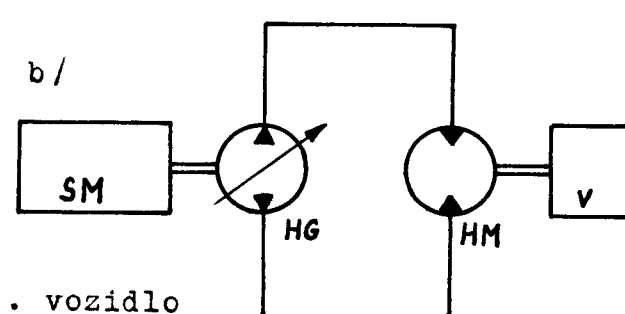
změnou  $\varphi_1$  od  $+\varphi_{1\max}$  do  $-\varphi_{1\max}$  lze provádět regulaci a reverzaci.

obr.8

a /



b /



v . . . vozidlo

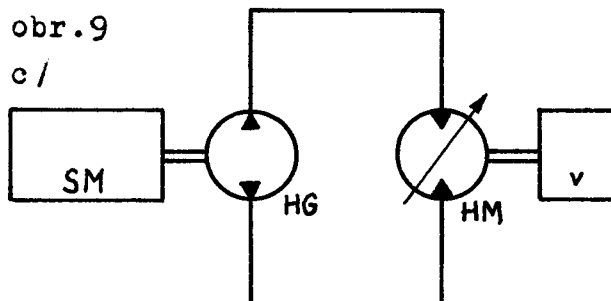
c / S regulačním HM.

$$\text{Regulační rozsah } R_H = R_{HM} = \varphi_{2\min}^{-1} \quad \varphi_{2\max} = 1$$

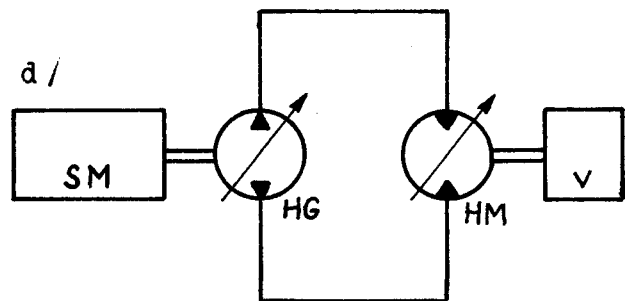
změnou  $\varphi_2$  nelze dosáhnout reverzace a nelze ani zastavit HM, protože jeho geometrický objem nemůžeme zmenšit na nulu. Tento typ HsP se také nedá použít.

obr.9

c /



d /



d / Regulační HM i HG.

$$\text{Regulační rozsah } R_H = / \varphi_{1\min} \cdot \varphi_{2\min} /^{-1}$$

$R_H$  je větší než u varianty b/

Použitelné jsou tedy varianty b/ a d/

Hydrostatický přenos výkonu musí splňovat také vlastnosti diferenciálu s uzávěrkou. To je možné uskutečnit čtyřmi způsoby.

/1/ Jeden HM a mechanický diferenciál s uzávěrkou.

/2/ Dva HG připojené k motoru a dva HM. To je řešení vhodné pro pásová a podobná vozidla.

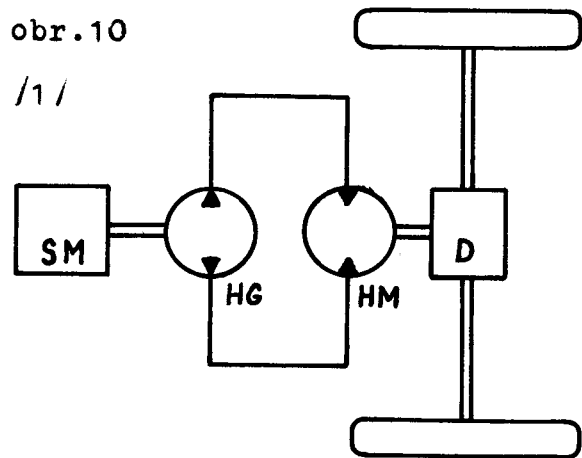
/3/ Jeden HG a dva HM. HM je možné přepojovat do paralelního /diferenciál/ nebo sériového /uzavřený diferenciál/ zapojení.

/4/ Paralelní zapojení dvou HM s děličem průtoku, který umožní jen malé vzájemné rozdíly otáček obou HM.

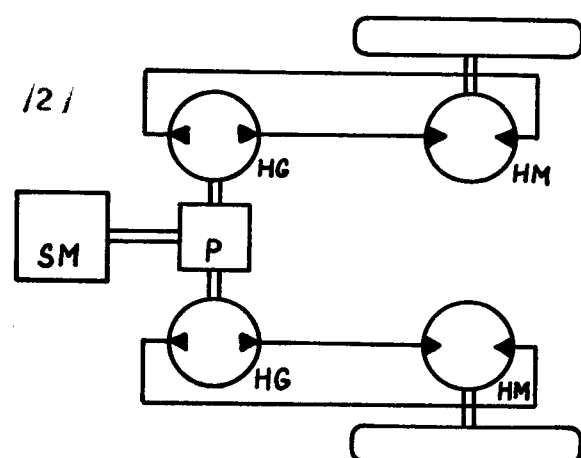
Schéma zapojení všech čtyř variant je na obrázku č.10.

obr.10

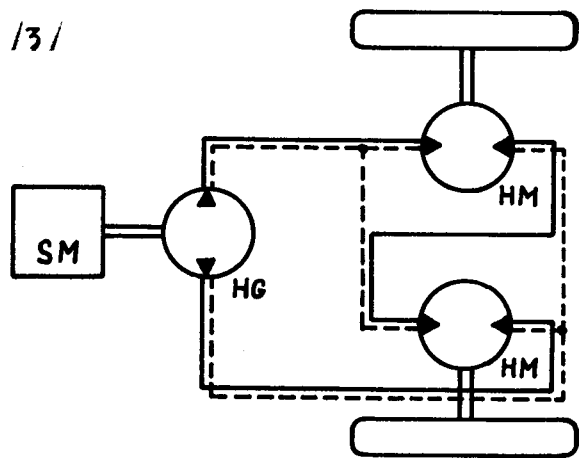
/1/



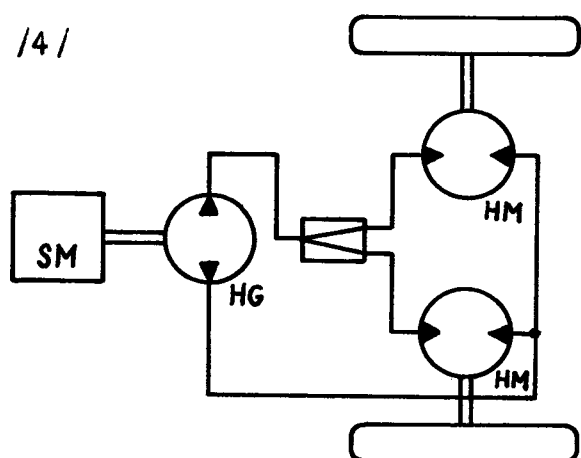
/2/



/3/

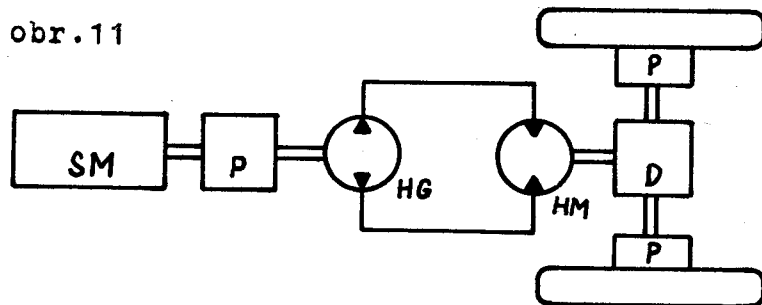


/4/



Hydrogenerátor má jiné maximální otáčky než motor a také axiální hydromotor má vyšší otáčky, než jsou požadované otáčky kol. Z těchto důvodů se před HG a za HM zařazují mechanické převody P.

obr.11



## 5.4.2. Typy převodníků ZTS Dubnica n. Váhom.

/5/

Převodníky jsou axiální se šikmou deskou.

Označení hydrogenerátorů: SPF . . . neregulační  $\beta = 18^\circ$   
 SPV . . . regulační  $\beta \in \langle -18^\circ; 18^\circ \rangle$

hydromotorů: SMF . . . neregulační  $\beta = 18^\circ$   
 SMV . . . regulační  $\beta \in \langle 7^\circ; 18^\circ \rangle$

tabulka 3

Typ	$V_g$ [cm <sup>3</sup> ]	$n_{max}$ [min <sup>-1</sup> ]	$M_{max}$ [Nm]	$P_p$ [kW]	m [kg]			
					SPV	SMF	SPF	SMV
20	33,3	3590	185,5	67,73	45	30	25	51
21	51,6	3100	287,4	93,31	55	35	30	61
22	68,8	2810	383,2	112,77	63	40	35	69
23	89,0	2590	495,8	134,46	78	47	42	78
24	118,7	2350	661,2	162,71	124	70	65	139
25	165,8	2100	923,6	203,10	166	124	119	179

V tabulce 4 jsou uvedeny celkové účinnosti regulačního převodníku typu 23 v závislosti na tlaku v obvodu, naklopení šikmé desky a otáčkách. Účinnosti jsou udány v %.

Pro výpočet hydrostatického přenosu jsou použity tyto účinnosti i pro obdobné hydrostatické převodníky.

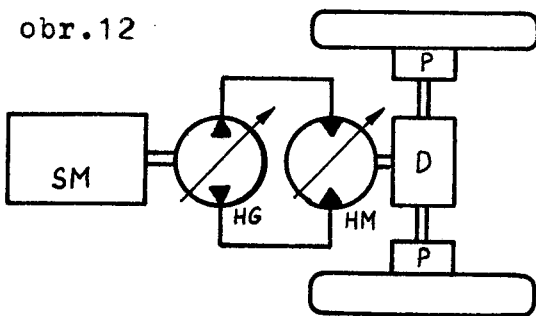
Tabulka 4.

n [min <sup>-1</sup> ]	p [MPa]	$\beta = 1^\circ$	$3^\circ$	$6^\circ$	$9^\circ$	$12^\circ$	$15^\circ$	$18^\circ$
$\gamma [\%]$								
100	3,5	13,25	38,11	55,17	64,90	70,38	73,89	76,19
	7	8,77	43,34	63,08	72,06	77,09	80,17	82,10
	14	-	25,59	55,08	67,39	74,06	78,12	80,70
	21	-	-	34,80	53,61	63,71	69,92	73,99
	28	-	-	8,37	35,49	50,01	58,98	64,95
	35	-	-	-	-	-	-	-
200	3,5	19,66	45,62	62,49	70,74	75,53	78,53	80,46
	7	21,28	53,78	70,74	78,10	82,10	84,50	85,97
	14	-	47,06	68,66	77,33	81,92	84,65	86,33
	21	-	27,52	58,37	70,42	76,77	80,59	83,03
	28	-	1,61	44,41	60,91	69,60	74,86	78,29
	35	-	-	27,39	49,28	60,79	67,82	72,46
400	3,5	-	55,13	51,13	74,94	79,20	81,78	83,41
	7	30,00	60,91	75,83	82,06	85,37	87,31	88,48
	14	18,72	59,66	76,47	83,02	86,41	88,39	89,58
	21	-	49,09	71,04	79,44	83,77	86,32	87,91
	28	-	34,38	63,28	74,15	79,78	83,13	85,27
	35	-	16,37	53,65	67,58	74,80	79,14	81,96
800	3,5	27,36	54,06	69,60	76,76	80,63	82,86	84,23
	7	34,94	64,50	78,31	83,95	86,86	88,49	89,45
	14	30,25	66,24	80,46	89,89	88,65	90,21	91,12
	21	13,11	60,13	77,47	83,94	87,24	89,14	90,70
	28	-	50,78	72,57	80,63	84,75	87,16	88,66
	35	-	39,10	66,38	76,40	81,54	84,59	86,53
1500	3,5	25,19	51,02	67,01	74,30	78,21	80,10	81,02
	7	34,11	63,06	77,16	82,93	85,79	87,20	87,89
	14	33,81	67,50	81,07	86,23	88,78	90,10	90,80
	21	21,86	63,90	79,50	85,30	88,20	89,78	90,69
	28	3,69	57,05	75,98	82,94	86,45	88,44	89,64
	35	-	47,99	71,21	79,70	84,01	86,50	88,06
2500	3,5	19,75	44,11	59,61	67,65	71,60	73,01	73,10
	7	28,79	56,83	72,24	78,75	81,81	82,96	83,14
	14	31,72	64,45	78,75	84,29	86,90	88,04	88,43
	21	23,52	63,05	78,62	84,48	87,31	88,70	89,35
	28	8,78	57,88	76,10	82,88	86,19	87,96	88,91
	35	-	50,21	72,13	80,19	84,22	86,46	87,77

## 5.4.3. Návrh č.1.

Schéma uspořádání :

obr.12

a/ Regulační rozsah motoru  $R_{SM}$ minimální otáčky  $n_{mmin} = 700 \text{ min}^{-1}$ maximální otáčky  $n_{mmax} = 2800 \text{ min}^{-1}$ 

$$R_{SM} = \frac{n_{mmax}}{n_{mmin}} = \frac{2800}{700} = 4$$

b/ HM i HG budou obdobné typu 22 ZTS

$$V_{g1,2} = 68,8 \text{ cm}^3$$

$$n_{max} = 2810 \text{ min}^{-1} \quad \text{při } V_g = V_{gmax} \quad \text{voleno } i_0 = 1,0$$

$$n_{max} = 4500 \text{ min}^{-1} \quad \text{při } V_g < V_{gmax} \quad \text{v této rozměrové řadě} \\ \text{dosahuje převodníky jiných výrobců až } 5000 \text{ min}^{-1}.$$

c/ Regulační rozsah HG  $R_{HG}$ 

$$\beta_{1min} = 5^\circ \dots \text{ pro trvalý provoz}$$

$$\varphi_{1min} = 0,27$$

$$\beta_{1max} = 18^\circ$$

$$\varphi_{1max} = 1,00$$

$$R_{HG} = \varphi_{1min}^{-1} = 3,70$$

d/ Regulační rozsah potřebný u HM  $R_{HM}$ 

$$\beta_{2min} = 7^\circ$$

$$\varphi_{2min} = 0,38$$

$$\beta_{2max} = 18^\circ$$

$$\varphi_{2max} = 1,00$$

Maximální rychlosť bude dosažena při maximálních otáčkách HM  $n_2 = 4500 \text{ min}^{-1}$ , při maximálních otáčkách motoru a HG  $n_1 = 2800 \text{ min}^{-1}$  a při nastavení HG na maximum  $\varphi_1 = 1,00$ .

$$\text{potom } \varphi_{2\text{MIN}} = \frac{n_1}{n_2} \cdot \varphi = \frac{2800}{4500} \cdot 1,0 = 0,62$$

$$R_{HM} \quad \varphi_{2\text{min}}^{-1} = 0,62^{-1} = 1,61$$

e / Celkový využitelný regulační rozsah  $R_c$

$$R_c = R_{SM} \cdot R_{HG} \cdot R_{HM} = 4,0 \cdot 3,7 \cdot 1,61 = 23,83$$

Při požadované rychlosti  $v_{max} = 25 \text{ kmh}^{-1}$  bude minimální plynulá rychlosť :

$$v_{min} = \frac{v_{max}}{R_c} = \frac{25}{23,83} = 1,05 \text{ km h}^{-1}$$

Tato minimální rychlosť plně vyhovuje.

f / Kontrola rohového výkonu HM pro  $v_{max}$

$$M_1 = M_m - M_z = 174,0 - 32,0 = 142,0 \text{ Nm}$$

$$P_1 = M_1 \cdot 2\pi n_m = 142 \cdot 2 \cdot \pi \cdot 2800 \cdot 60^{-1} = 41636 \text{ W}$$

$$P_1 = 41,6 \text{ kW}$$

Potřebný rohový výkon HM

$$P_{HM} = R_{HM} \cdot P_1 = 1,61 \cdot 41,6 = 67,0 \text{ kW}$$

vyhovuje pro převodník typu 22 ZTS

g / Určení převodu od HM ke kolům  $i_k$

při maximální rychlosťi :

$$\omega_{2\text{max}} = 2\pi n_{2\text{max}} = 2 \cdot \pi \cdot 4500 \cdot 60^{-1} = 471,2 \text{ s}^{-1}$$

$$\omega_{k\text{max}} = \frac{v_{max}}{r_D} = \frac{25}{3,6 \cdot 0,337} = 20,6 \text{ s}^{-1}$$

$$i_k = \frac{\omega_{2\text{max}}}{\omega_{k\text{max}}} = \frac{471,2}{20,6} = 22,87$$

h / Určení tahové charakteristiky

vypočtené hodnoty jsou uvedeny v tabulce 5.

Použité vztahy :  $n_m = n_1 \dots \dots \dots$  volená řada

$P_m \dots \dots \dots$  z diagramu č. 1.

$M_m \dots \dots \dots$  z diagramu č. 1.

$M_1 = M_m - M_z$

$P_1 = M_1 \cdot 2\pi n_1$  . . . . výkon přiváděný na HG

$\beta_1$  . . . . . volená řada

$\beta_2$  . . . . . volená řada

$$\varphi_1 = \frac{\operatorname{tg} \beta_1}{\operatorname{tg} \beta_{1\max}} \quad \beta_{1\max} = 18^\circ$$

$$\varphi_2 = \frac{\operatorname{tg} \beta_2}{\operatorname{tg} \beta_{2\max}} \quad \beta_{2\max} = 18^\circ$$

$$p = \frac{2 \cdot \pi \cdot M_1}{V_{g1} \cdot \varphi_1}$$

$\eta_1$  . . . . . z tabulky 4.

$\eta_2$  . . . . . z tabulky 4.

$$\eta_c = \eta_1 \cdot \eta_2 \cdot \eta_{\text{mech}} \quad \eta_{\text{mech}} = 0,94$$

$$n_2 = n_1 \cdot \frac{\varphi_1}{\varphi_2} \quad \text{platí pro } V_{g1} = V_{g2}$$

$$v = r_D \cdot \frac{2 \cdot \pi \cdot n_2}{i_k} \quad r_D = 0,337 \text{ m}$$

$$P_k = P_1 \cdot \eta_c$$

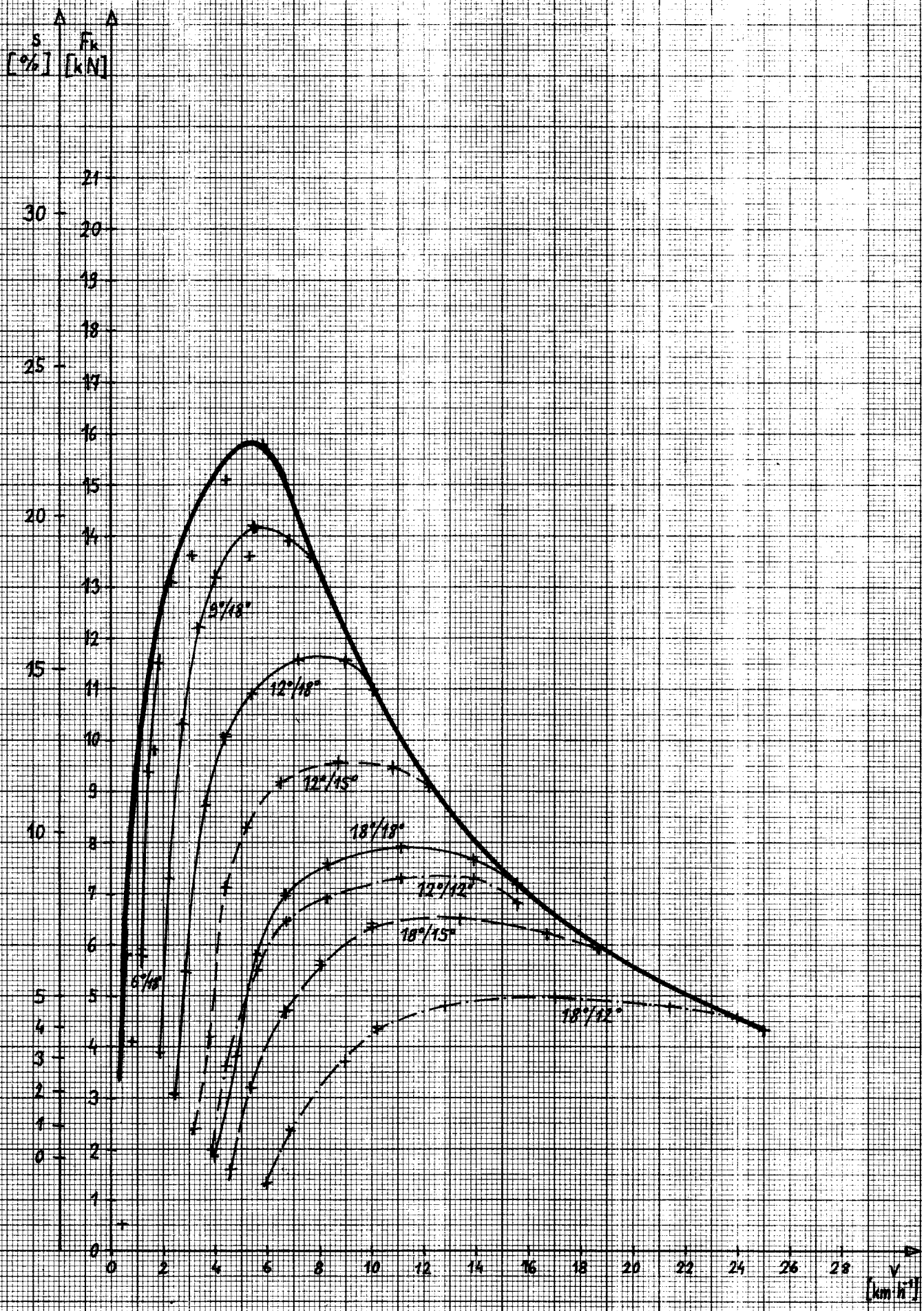
$$F_k = P_k \cdot v^{-1}$$

Hodnoty  $F_k$  a  $v$  jsou vneseny do tahové charakteristiky -diagramu 2 k hodnotám  $F_k$  jsou přiřazeny stoupavosti s podle tabulky 2.

Tabulka 5.

$n_m$ [min $^{-1}$ ]	$P_m$ [kW]	$M_m$ [Nm]	$M_1$ [Nm]	$\gamma_2 [1]$	$n_2$	$\eta_2$	$\eta_c$	$v$ [kmh $^{-1}$ ]	$P_k$ [kW]	$F_k$ [kN]				
700	5,5	75,0	43,0	$\beta_2 [^{\circ}]$	121	30	5,1	0,67	0,2	1,1				
					172	66	30	0,96	1,0	3,8				
					344	81	60	1,91	2,0	3,8				
					528	83	65	2,93	2,1	2,6				
					700	85	68	3,89	2,2	2,0				
					1076	81	64	5,98	2,1	1,3				
800	9,0	107,4	75,4	$\beta_2 [^{\circ}]$	242	36	11	1,34	0,7	1,9				
					394	78	56	2,19	3,5	5,8				
					603	86	70	3,35	4,4	4,7				
					800	86	70	4,44	4,4	3,6				
					1231	87	73	6,84	4,6	2,4				
1000	15,0	143,2	111,2	$\beta_2 [^{\circ}]$	446	55	35	2,48	4,1	5,9				
					492	72	47	2,73	5,5	7,3				
					754	84	66	4,19	7,7	6,6				
					1000	87	73	5,56	8,5	5,5				
					1538	88	75	8,54	8,7	3,7				
1200	20,5	163,2	131,1	$\beta_2 [^{\circ}]$	631	75	48	3,50	7,9	8,1				
					905	84	66	5,03	10,9	7,8				
					1200	88	73	6,67	12,1	6,5				
					1846	89	76	10,25	12,5	4,4				
1500	27,5	175,0	143,0	$\beta_2 [^{\circ}]$	861	70	45	4,78	10,1	7,6				
					1131	85	66	6,28	14,9	8,5				
					1500	86	71	8,33	16,0	6,9				
					2308	89	76	12,84	17,1	4,8				
2000	38,1	182,0	150,0	$\beta_2 [^{\circ}]$	1203	82	58	6,68	18,2	9,8				
					1508	85	66	8,38	20,7	8,9				
					2000	87	72	11,11	22,6	7,3				
					3077	88	75	17,09	23,6	5,0				
2500	47,0	179,5	147,5	$\beta_2 [^{\circ}]$	1481	83	53	8,23	20,5	9,0				
					1885	87	68	10,47	26,3	9,0				
					2500	88	73	13,89	28,2	7,3				
					3846	87	74	21,36	28,6	4,8				
2800	51,0	174,0	142,0	$\beta_2 [^{\circ}]$	1598	83	56	8,88	23,3	9,5				
					2111	86	67	11,73	27,9	8,6				
					2800	87	71	15,55	29,5	6,8				
					4308	87	73	23,93	30,4	4,6				
					0,622	4500	85	71	25,00	29,5				
										4,3				

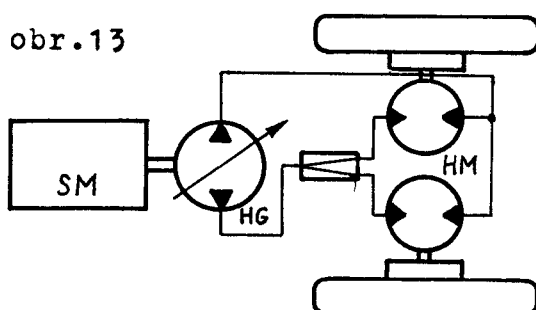
Diagram 2.



## 5.4.4. Návrh č.2.

Schéma uspořádání :

obr.13

a / Regulační rozsah motoru  $R_{SM}$ 

$$n_{mmin} = 700 \text{ min}^{-1}$$

$$n_{mmmax} = 2800 \text{ min}^{-1}$$

$$R_{SM} = \frac{n_{mmmax}}{n_{mmin}} = \frac{2800}{700} = 4$$

b / HG obdobný typu 22ZTS

$$V_{g1} = 68,8 \text{ cm}^3$$

$$n_{max} = 2810 \text{ min}^{-1} \quad \text{převod } i_0 = 1,0$$

c / HM obdobné typu 20ZTS, neregulační

$$V_{g2} = 33,3 \text{ cm}^3$$

$$n_{max} = 3590 \text{ min}^{-1}$$

$$\varphi_2 = 1,0 \quad \beta_2 = 18^\circ$$

d / Regulační rozsah HG  $R_{HG}$ 

$$\beta_{1min} = 5^\circ \dots \text{ pro trvalý provoz}$$

$$\varphi_{1min} = 0,27$$

$$\beta_{1max} = 18^\circ$$

$$\varphi_{1max} = 1,00$$

$$R_{HG} = \varphi_{1min}^{-1} = 0,27^{-1} = 3,70$$

e / Celkový regulační rozsah

$$R_c = R_{SM} \cdot R_{HG} = 4,0 \cdot 3,7 = 14,8$$

Protože je  $R_c$  nízký, je nutné použít dva rychlostní stupně. Oba převody mezi HM a kolem budou řaditelné za klidu.

f / Určení rychlostního rozsahu I. převodového stupně

$$\text{voleno : } v_{max}^{I.} = 13 \text{ km h}^{-1}$$

$$v_{\min}^{I.} = \frac{v_{\max}^{I.}}{R_c} = \frac{13}{14,8} = 0,88 \text{ km h}^{-1}$$

Tato minimální rychlosť plne vyhovuje.

g/ Určení rychlosního rozsahu II. převodového stupně

$$\text{voleno : } v_{\max}^{II.} = 27 \text{ km h}^{-1}$$

$$v_{\min}^{II.} = \frac{v_{\max}^{II.}}{R_c} = \frac{27}{14,8} = 1,8 \text{ km h}^{-1}$$

h/ Převodové stupně.

Určení  $i_k^{I.}$  při  $v_{\max}^{I.}$

$$\omega_{k\max}^{I.} = \frac{v_{\max}^{I.}}{r_D} = \frac{13}{3,6 \cdot 0,337} = 10,72 \text{ s}^{-1}$$

při  $v_{\max}$  bude  $\varphi_1 = 1,0$  a  $n_1 = 2800 \text{ min}^{-1}$

$$n_{2\max} = n_1 \cdot \frac{\varphi_1 \cdot v_{g1}}{\varphi_2 \cdot 2 \cdot v_{g2}} = 2800 \cdot \frac{1,0 \cdot 68,8}{1,0 \cdot 2 \cdot 33,3} = 2892 \text{ min}^{-1}$$

$$\omega_{2\max} = 2\pi \cdot n_{2\max} = 2\pi \cdot 2892 \cdot 60^{-1} = 302,85 \text{ s}^{-1}$$

$$i_k^{I.} = \frac{\omega_{2\max}}{\omega_{k\max}^{I.}} = \frac{302,85}{10,72} = 28,25$$

Určení  $i_k^{II.}$  při  $v_{\max}^{II.}$

$$\omega_{k\max}^{II.} = \frac{v_{\max}^{II.}}{r_D} = \frac{27}{3,6 \cdot 0,337} = 22,26 \text{ s}^{-1}$$

$$i_k^{II.} = \frac{\omega_{2\max}}{\omega_{k\max}^{II.}} = \frac{302,85}{22,26} = 13,61$$

$$\gamma_{\text{mech}} = 0,94$$

## i / Určení tahové charakteristiky

vypočtené hodnoty jsou uvedeny v tabulce 6.

Použité vztahy :  $n_m = n_1 \dots \dots \dots$  volená řada

$P_m \dots \dots \dots \dots \dots$  z diagramu č.1

$M_m \dots \dots \dots \dots \dots$  z diagramu č.1

$$M_1 = M_m - M_z$$

$$P_1 = M_1 \cdot 2\pi n_1$$

$\beta_1 \dots \dots \dots \dots \dots$  volená řada

$$\varphi_1 = \frac{\operatorname{tg} \beta_1}{\operatorname{tg} \beta_{1\max}} \quad \beta_{1\max} = 18^\circ$$

$$p = \frac{2 \cdot \pi \cdot M_1}{V_{g1} \cdot \varphi_1}$$

$\gamma_1 \dots \dots \dots \dots \dots$  z tabulky 4.

$\gamma_2 \dots \dots \dots \dots \dots$  z tabulky 4.

$$\gamma_c = \gamma_1 \cdot \gamma_2 \cdot \gamma_{\text{mech}}$$

$$n_2 = n_1 \cdot \frac{\varphi_1}{\varphi_2} \cdot \frac{V_{g1}}{2 \cdot V_{g2}}$$

$$v = r_D \cdot \frac{2 \cdot \pi \cdot n_2}{i_k}$$

$$P_k = P_1 \cdot \gamma_c$$

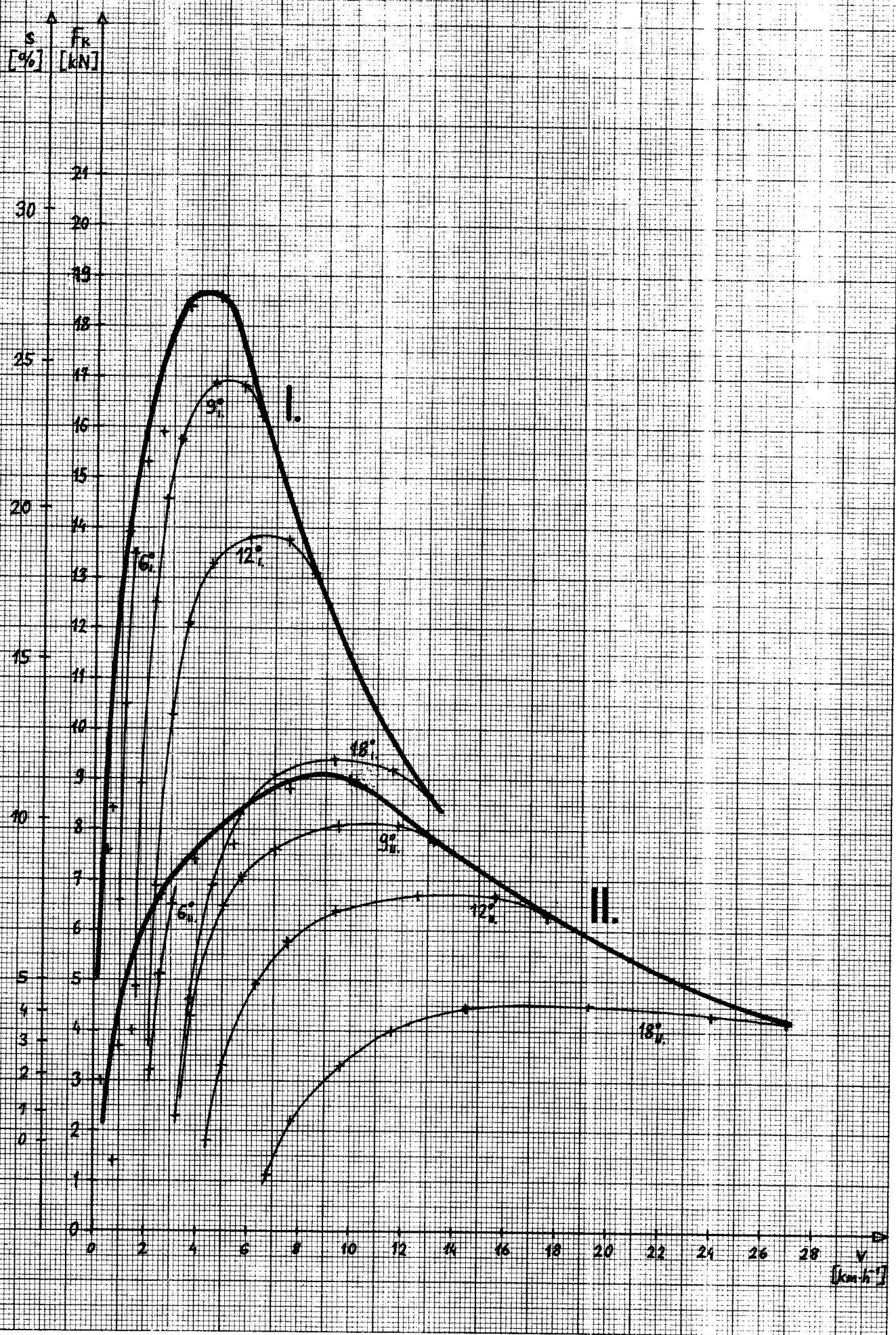
$$F_k = P_k \cdot v^{-1}$$

Hodnoty  $F_k$  a  $v$  jsou vneseny do tahové charakteristiky-diagramu 3  
k hodnotám  $F_k$  jsou přiřazeny stoupavosti s podle tabulky 2.

Tabulka 6.

$n_m$ [min $^{-1}$ ]	$P_m$ [kW]	$M_m$ [Nm]	$v^{II.}$ [kmh $^{-1}$ ]	$F_k^I$ [kN]	$F_k^{III.}$ [kN]
700	5,5	75,0	0,76	3,0	1,5
			1,08	7,6	3,7
			2,16	6,6	3,2
			3,31	4,8	2,3
			4,39	3,8	1,8
			6,75	2,3	1,1
800	9,0	107,4	1,52	8,4	4,0
			2,47	10,5	5,1
			3,78	8,9	4,3
			5,01	6,9	3,3
			7,71	4,4	2,2
1000	15,0	143,2	2,80	13,9	6,7
			3,09	13,5	6,5
			4,72	12,5	6,0
			6,27	10,3	4,9
			9,64	6,9	3,3
1200	20,5	163,2	3,96	15,3	7,4
			5,67	14,6	7,1
			7,52	12,1	5,8
			11,58	8,3	4,0
			5,40	15,9	7,7
1500	27,5	175,0	7,09	15,7	7,6
			9,40	13,3	6,4
			14,47	9,1	4,4
			7,54	18,4	8,8
2000	38,1	182,0	9,45	16,9	8,1
			12,54	13,8	6,7
			19,29	9,4	4,5
			9,28	16,8	8,1
2500	47,0	179,5	11,82	16,8	8,1
			15,67	13,8	6,7
			24,11	9,2	4,3
			10,02	18,6	9,0
2800	51,0	174,0	13,23	16,2	7,8
			17,55	13,1	6,3
			27,00	8,7	4,2

Diagram 3.



## 5.5. Hydrodynamický měnič

/1;3;4/

## 5.5.1. Obecné řešení

HdM je připojen přímo k motoru :  $i_0 = 1,0$  ;  $n_m = n_1$

Vztahy použité pro výpočty : i . . . . . převodový poměr

m . . . . . momentový poměr

$m_o$  . . . . . násobnost

$\gamma$  . . . . . účinnost měniče

K . . . . . bezrozměrný moment  
měniče

k . . . . . konstanta měniče

Tyto hodnoty určují charakteristiku měniče.

$$M_{HdM} = \frac{K \cdot n_1^2}{k}$$

$M_2 = M_1 \cdot m$  . . . . moment na výstu-  
pu z HdM

$n_2 = n_1 \cdot i$  . . . . otáčky na výstu-  
pu z HdM

$$P_2 = M_2 \cdot 2 \cdot \pi \cdot n_2$$

$$P_k = P_2 \cdot \gamma_{mech} \quad \gamma_{mech} = 0,94$$

$$v = \frac{2 \cdot \pi \cdot n_2}{i_k} \cdot r_D \quad r_D = 0,337 \text{ m}$$

$$F_k = \frac{P_k}{v}$$

Hodnoty  $M_1$  a  $n_1$  se určí grafickou metodou u návrhu č.3 z dia-  
gramu 5, u návrhu č. 4 z diagramu 8.

V těchto diagramech jsou do momentové charakteristiky motoru Avia, snížené o ztrátový moment  $M_z$ , zakresleny momenty měniče pro různé i přepočtené podle vztahu :

$$M_{HdM} = \frac{K \cdot n_1^2}{k} \quad K \text{ je závislé na } i$$

Průběh  $M_{HdM}$  je parabolický a proto jsou souřadnicové osy diagramů logaritmické.

Průsečíky charakteristik  $M_1$  a  $M_{HdM}$  určují provozní stavy soustavy motor + měnič /moment  $M_1$  a otáčky  $n_1$ /.

### 5.5.2. Návrh č. 3

Použití měniče s nižší násobností M 300 · 2 a dvoustupňové převodovky.

Charakteristika měniče je na diagramu 4, grafické řešení na diagramu 5.

Hodnoty vypočtené pro tahovou charakteristiku jsou uvedeny v tabulce 7.

Tahová charakteristika je na diagramu 6.

#### a/ Určení maximální rychlosti

Z tabulky 7 :

$$\text{Maximální výkon na kolech : } P_{k \max} = 30,02 \text{ kW} \\ \text{při } n_2 = 2321 \text{ min}^{-1}$$

Pro dosažení stoupavosti 3% je potřeba  $F_k \min = 3,82 \text{ kW}$  /určeno z tabulky 2/.

Maximální dosažitelná rychlosť :

$$v_{\max}^{\text{II.}} = \frac{P_{k \max}}{F_{k \min}} = \frac{30,02 \cdot 3,6}{3,82} = 28,3 \text{ km} \cdot \text{h}^{-1}$$

$$\text{voleno : } v_{\max}^{\text{II.}} = 27 \text{ km} \cdot \text{h}^{-1}$$

#### b/ Určení převodu $i_k^{\text{III.}}$ :

$$\omega_{k \max}^{\text{II.}} = \frac{v_{\max}^{\text{II.}}}{r_D} = \frac{27}{3,6 \cdot 0,337} = 22,26 \text{ s}^{-1}$$

$$i_k^{\text{III.}} = \frac{2 \cdot \pi \cdot n_2}{\omega_{k \max}^{\text{II.}}} = \frac{2 \cdot \pi \cdot 2321}{60 \cdot 22,26} = 10,92$$

c / Určení převodu  $i_k^{I.}$  :

z tabulky 2 pro  $s > 25\%$  :  $F_k = 17,5 \text{ kN}$

výpočet je proveden pro  $i = 0,05$  ;  $n_2 = 71,1 \text{ min}^{-1}$

$$P_k = 2,33 \text{ kW}$$

$$v = \frac{P_k}{F_k} = \frac{2,33 \cdot 3,6}{17,5} = 0,48 \text{ km} \cdot \text{h}^{-1}$$

$$i_k^{I.} = \frac{2 \cdot \pi \cdot n_2}{v} \cdot r_D = \frac{2 \cdot \pi \cdot 71,1 \cdot 3,6}{60 \cdot 0,48} \cdot 0,337 = 18,82$$

d / Tahová charakteristika

tabulka 7 . . . . . vypočtené hodnoty

diagram 4 . . . . . charakteristika měniče M 300.2

diagram 5 . . . . . grafické řešení

diagram 6 . . . . . tahová charakteristika

Tabulka 7.

38

i [1]	m [1]	$\eta$ [%]	K [1]	$M_{HdM}$ 1000 [Nm]	$M_{HdM}$ 2800 [Nm]	$M_1$ [Nm]	n [min]
0,000	2,520	0,0	0,140	68,8	539,7	139,0	142
0,050	2,400	12,0	0,141	69,3	543,6	139,0	142
0,100	2,295	23,0	0,141	69,3	543,6	139,0	142
0,200	2,080	41,6	0,142	69,8	547,4	138,0	140
0,300	1,885	56,6	0,142	69,8	547,4	138,0	140
0,400	1,703	68,1	0,142	69,8	547,4	138,0	140
0,500	1,525	76,3	0,140	68,8	539,7	139,0	142
0,600	1,350	81,0	0,137	67,4	528,2	140,6	145
0,700	1,200	84,0	0,130	63,9	501,2	141,3	148
0,800	1,050	84,0	0,118	58,0	454,9	143,6	157
0,850	0,994	84,5	0,106	52,1	408,6	144,5	167
0,900	0,961	86,5	0,081	39,8	312,3	147,6	191
0,925	0,930	86,0	0,066	32,5	254,4	147,9	213
0,950	0,895	85,0	0,050	24,6	192,8	146,8	244
0,975	0,821	80,0	0,024	11,8	92,5	92,3	280

	$M_2$ [Nm]	$n_2$ [min $^{-1}$ ]	$P_2$ [kW]	$P_K$ [kW]	$v^I.$ [kmh $^{-1}$ ]	$v^{II.}$ [kmh $^{-1}$ ]	$F_k^I.$ [kN]	$F_k^{II.}$ [kN]
-1								
2	350,3	0,0	-	-	0,0	0,0	-	-
2	333,6	71,1	2,48	2,33	0,48	0,83	17,48	10,11
2	319,0	142,2	4,75	4,47	0,96	1,65	16,76	9,75
0	287,0	284,0	8,54	8,03	1,92	3,30	15,06	8,76
0	260,0	426,0	11,60	10,90	2,88	4,96	13,62	7,91
0	235,0	568,0	13,98	13,14	3,83	6,61	12,35	7,16
2	212,0	711,0	15,78	14,83	4,80	8,27	11,12	6,46
2	189,8	871,2	17,32	16,28	5,88	10,14	9,97	5,78
9	169,6	1042,3	18,51	17,40	7,04	12,13	8,90	5,16
0	150,8	1256,0	19,83	18,64	8,48	14,61	7,91	4,59
1	143,6	1420,4	21,36	20,08	9,59	16,53	7,54	4,37
9	141,8	1727,1	25,65	24,11	11,66	20,09	7,44	4,32
8	137,6	1977,7	28,50	26,79	13,35	23,01	7,22	4,19
3	131,4	2320,9	31,94	30,02	15,67	27,00	6,89	4,00
0	73,8	2730,0	21,10	19,83	18,43	31,76	3,87	2,25

Diagram 4.

$\eta$   
[%] [1]

M 300,2

 $m_o = 2,52$  $i_s = 0,83$  $k = 2033,6$ 

2,0  
1,5  
1,0  
0,5  
0,0

100  
90  
80  
70  
60  
50  
40  
30  
20  
10  
0,0

1,5  
1,0  
0,5  
0,0

0,0 0,05 0,1 0,2 0,3 0,4 0,5 0,6 0,7 0,8 0,9 0,95 1,0

→  
 $i$

K

m

 $\eta$

$M$   
 $\Delta \log M$

Diagram 5.

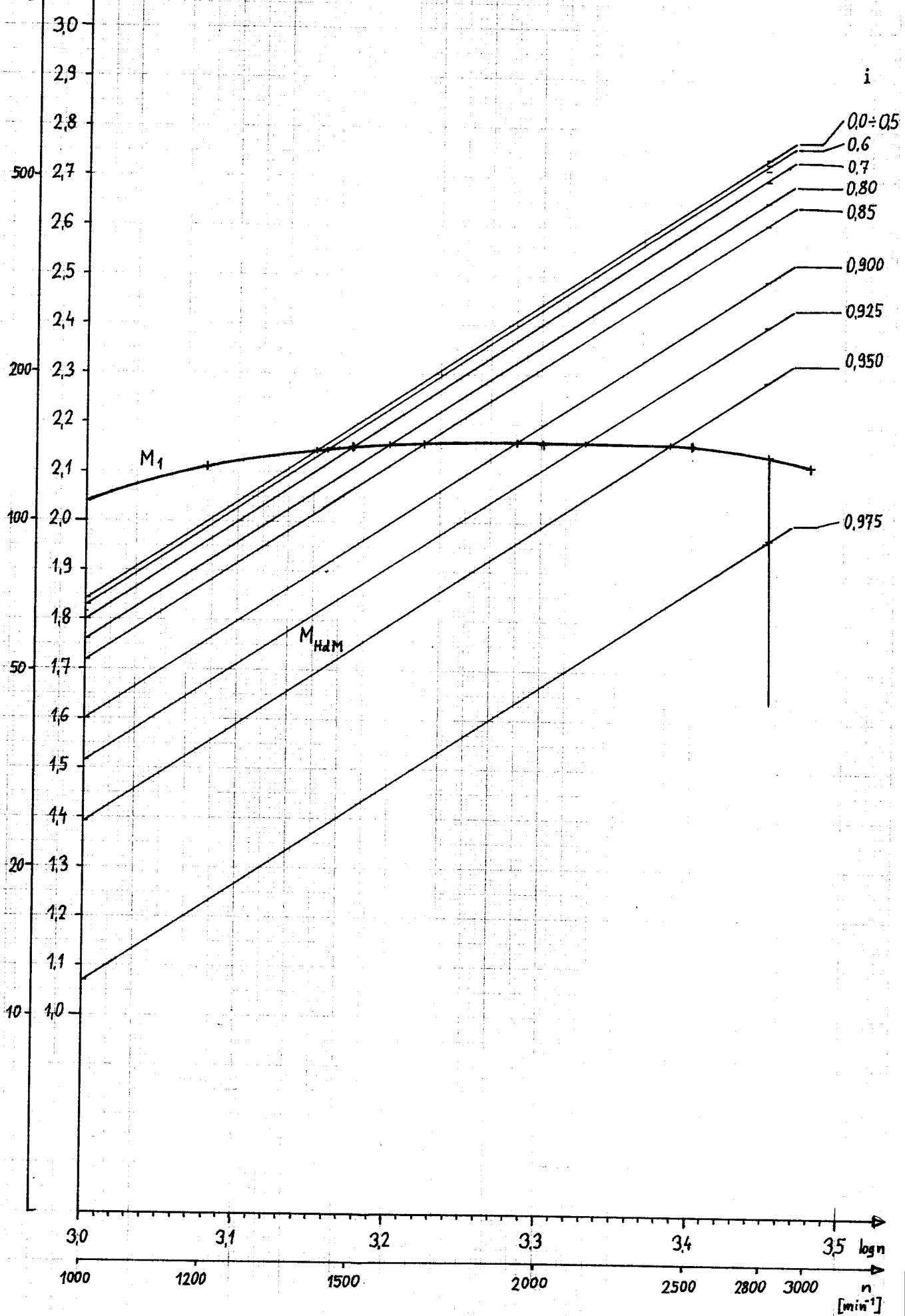
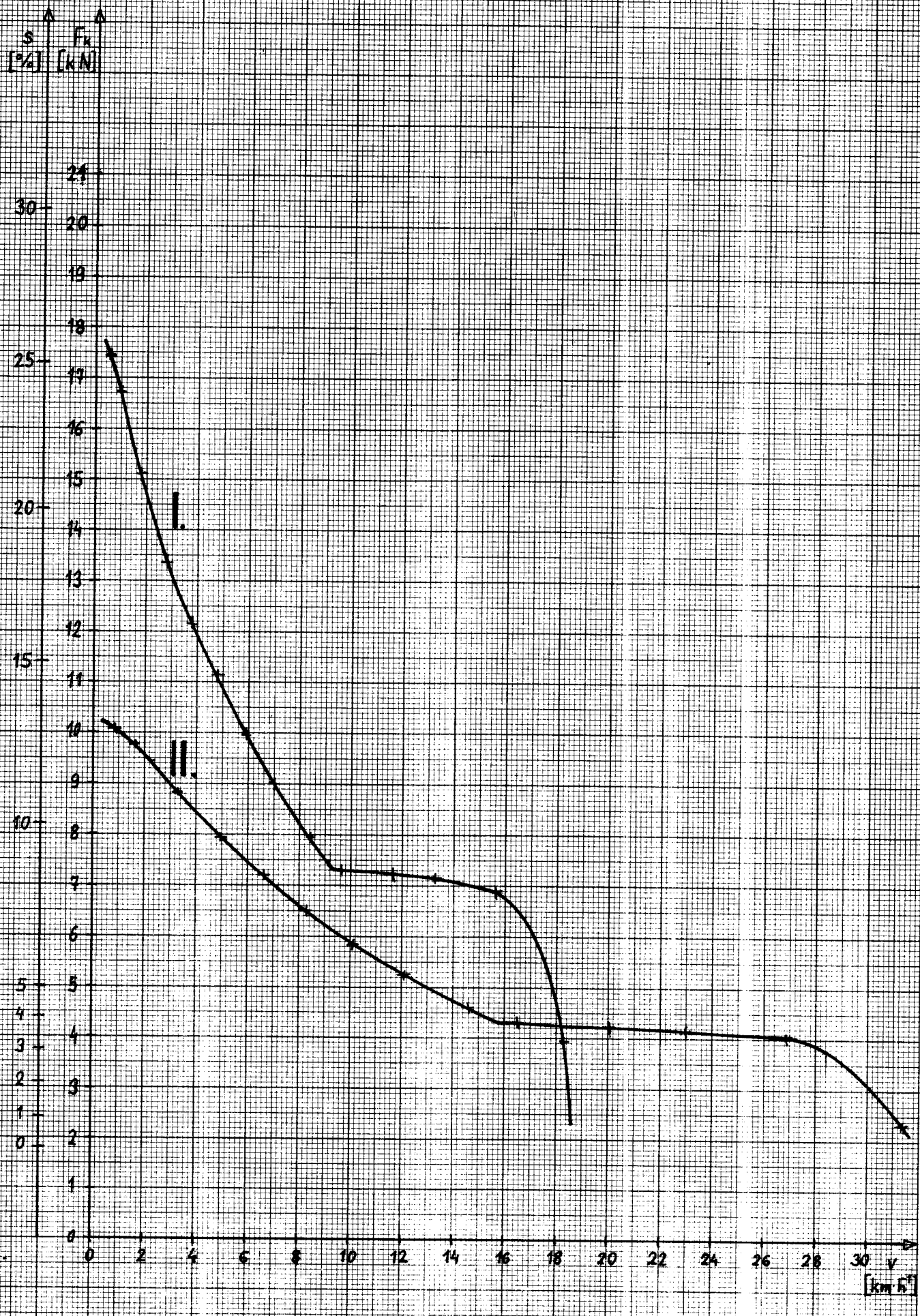


Diagram 6.



### 5.5.3. Návrh č. 4

Použití měniče s vyšší násobností M 300.4 a jednostupňové převodovky.

Charakteristika měniče je na diagramu 7.

Grafické řešení na diagramu 8.

Vypočtené hodnoty tahové charakteristiky jsou uvedeny v tab. 8.

Diagram 9 představuje tahovou charakteristiku.

a / Určení maximální rychlosti :

$$\text{Z tabulky 8 : } P_{k\max} = 27,40 \text{ kW při } n_2 = 2365 \text{ min}^{-1}$$

$$\text{Pro } s = 3 \% : F_{k\min} = 3,82 \text{ kN /určeno z tabulky 2/}$$

Maximální dosažitelná rychlosť :

$$v_{\max} = \frac{P_{k\max}}{F_{k\min}} = \frac{27,40 \cdot 3,6}{3,82} = 25,82 \text{ km} \cdot \text{h}^{-1}$$

b / Určení převodu  $i_k$  pro zajištění maximální stoupavosti :

$$\text{Z tabulky 2 pro } s > 20 \% : F_k = 16 \text{ kN}$$

Výpočet je proveden pro  $i = 0,05$

$$n_2 = 82 \text{ min}^{-1}$$

$$P_k = 3,14 \text{ kW}$$

$$v = \frac{P_k}{F_k} = \frac{3,14 \cdot 3,6}{16} = 0,71 \text{ km} \cdot \text{h}^{-1}$$

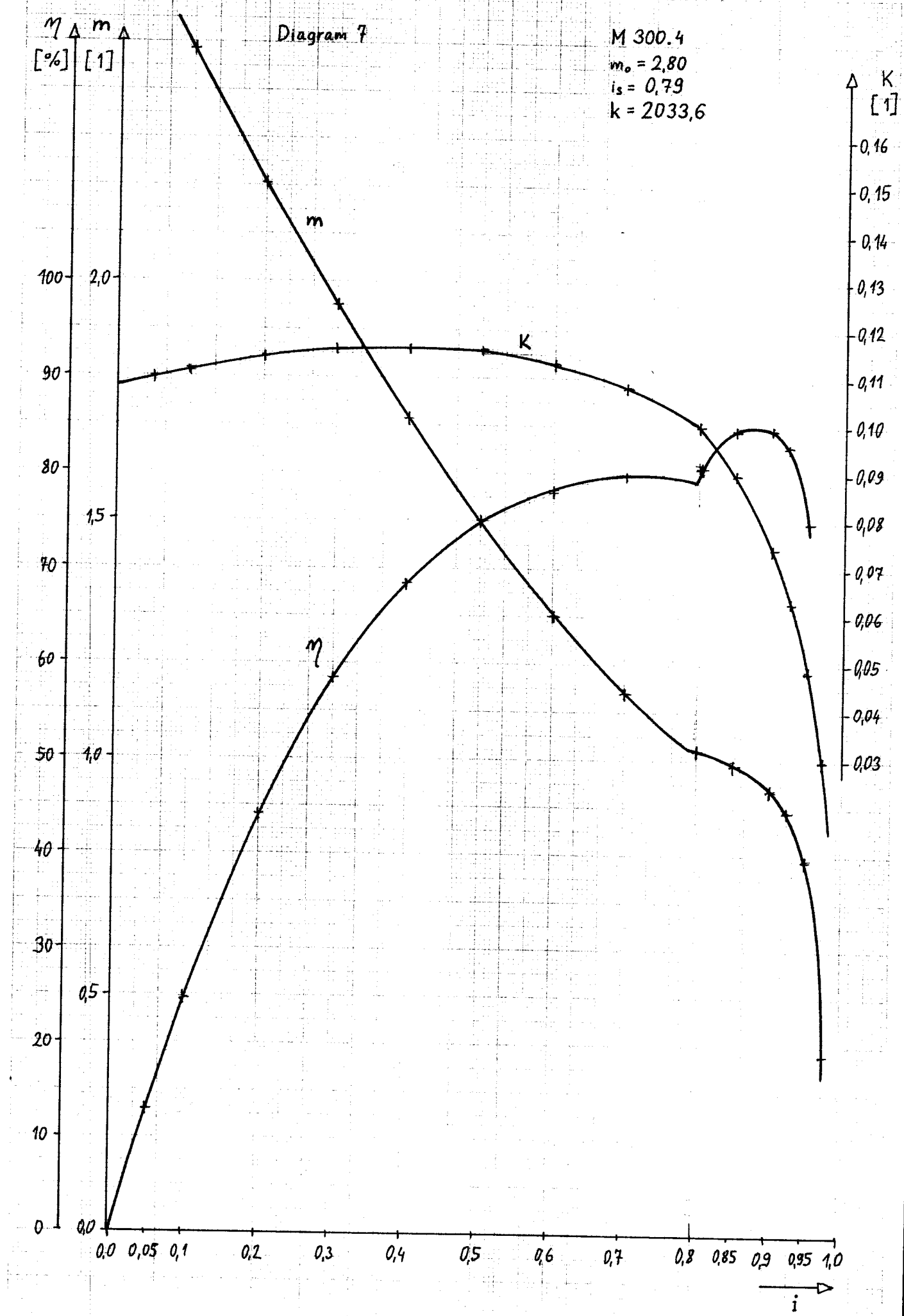
$$i_k = \frac{2 \cdot \pi \cdot n_2 r_D}{v} = \frac{2 \cdot \pi \cdot 82 \cdot 3,6 \cdot 0,337}{60 \cdot 0,71} = 14,67$$

Tabulka 8.

43

$i$ [1]	$m$ [1]	$\eta$ [%]	K [1]	$M_{HdM}$ 1000 [Nm]	$M_{HdM}$ 2800 [Nm]	$M_1$ [Nm]
0,000	2,800	0,0	0,108	53,1	416,4	147,9
0,050	2,635	13,1	0,110	54,1	424,1	147,6
0,100	2,485	24,9	0,111	54,6	427,9	147,6
0,200	2,205	44,1	0,114	56,1	439,5	146,9
0,300	1,947	58,4	0,116	57,0	447,2	146,2
0,400	1,715	68,6	0,116	57,0	447,2	146,2
0,500	1,500	75,0	0,116	57,0	447,2	146,2
0,600	1,300	78,0	0,113	55,6	435,6	146,9
0,700	1,140	79,8	0,108	53,1	416,4	147,9
0,800	1,012	81,0	0,100	49,2	385,5	148,6
0,850	0,991	84,2	0,090	44,3	347,0	150,0
0,900	0,939	84,5	0,074	36,4	285,3	151,0
0,925	0,897	83,0	0,063	31,0	242,9	151,0
0,950	0,790	75,0	0,049	24,1	188,9	149,0
0,975	0,380	37,0	0,030	14,8	115,7	116,2

$n_1$ [min $^{-1}$ ]	$M_2$ [Nm]	$n_2$ [min $^{-1}$ ]	$P_2$ [kW]	$P_k$ [kW]	v [kmh $^{-1}$ ]	$F_k$ [kN]
1667	414,1	0,0	-	-	0,0	-
1640	388,9	82,0	3,34	3,14	0,71	15,92
1640	366,8	164,0	6,30	5,92	1,42	15,01
1607	323,9	321,4	10,90	10,25	2,78	13,27
1585	284,7	475,5	14,18	13,33	4,12	11,65
1585	250,7	634,0	16,65	15,65	5,49	10,26
1585	219,3	792,5	18,20	17,11	6,86	8,98
1607	191,0	964,2	19,29	18,13	8,35	7,82
1667	168,6	1166,9	20,60	19,36	10,11	6,89
1738	150,4	1390,4	21,90	20,59	12,04	6,16
1841	148,7	1564,9	24,37	22,91	13,55	6,09
2042	141,8	1837,8	27,29	25,65	15,92	5,80
2213	135,5	2047,0	29,05	27,31	17,73	5,55
2489	117,7	2364,6	29,15	27,40	20,48	4,82
2800	44,2	2730	12,64	11,88	23,64	1,81



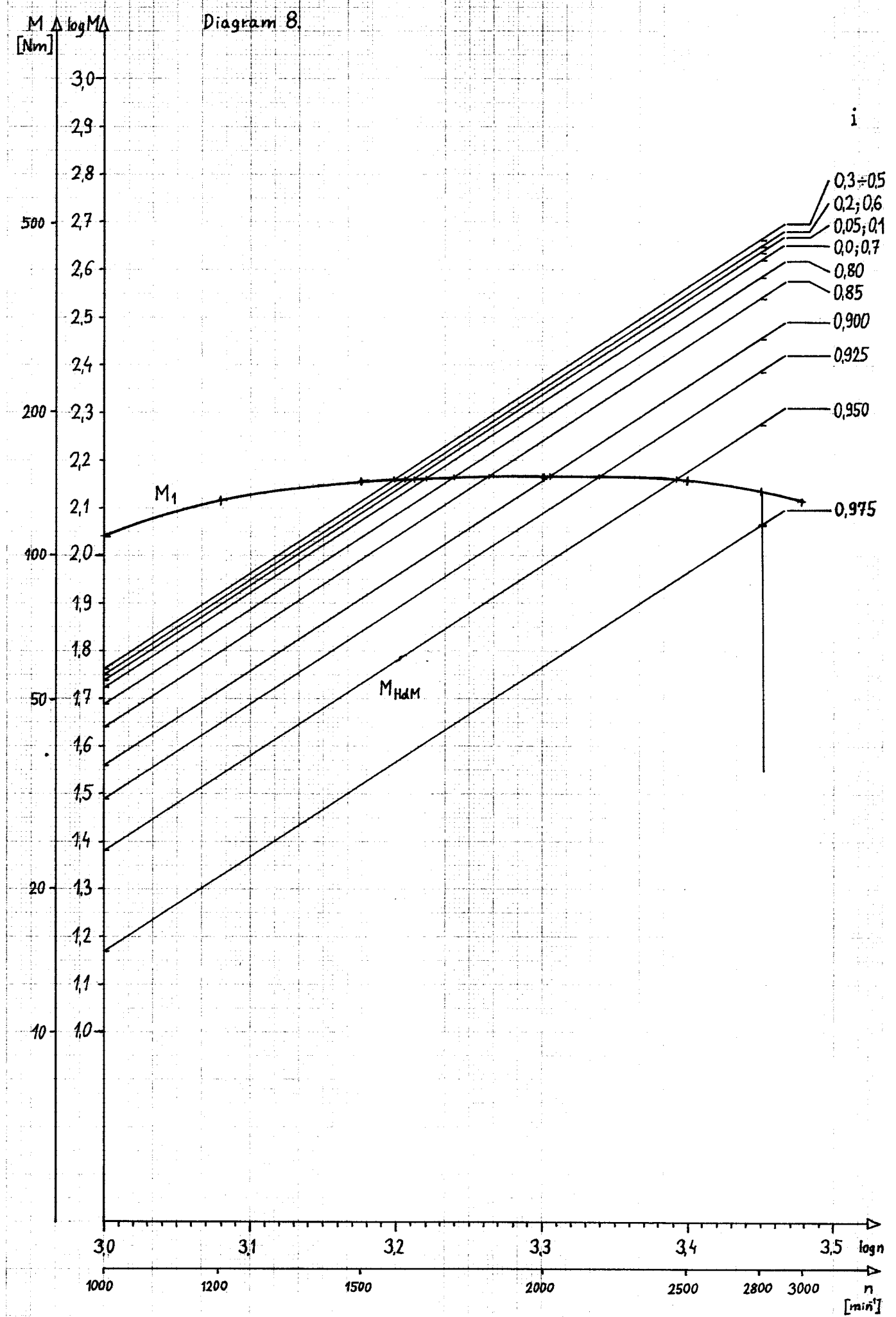
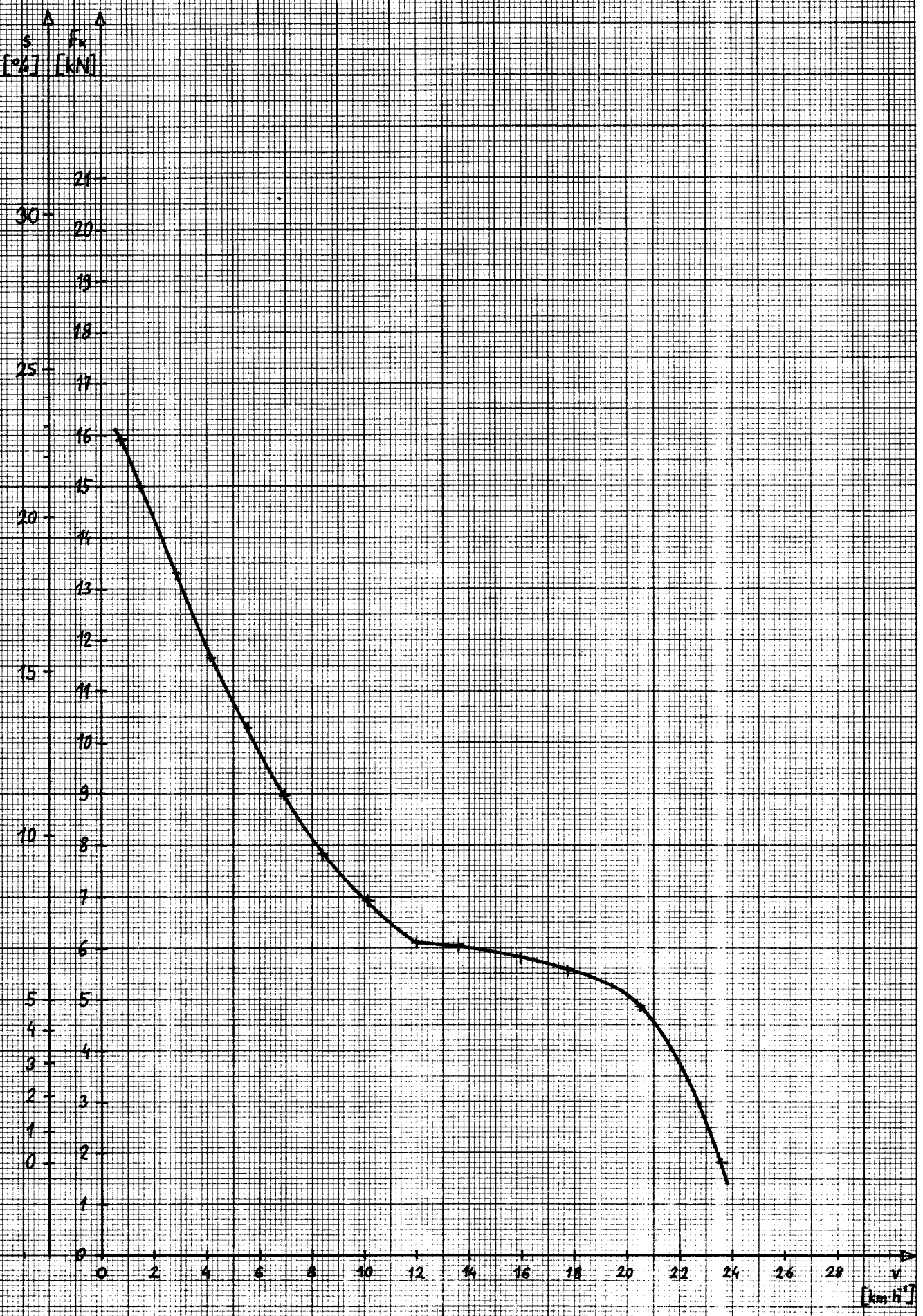


Diagram 9.



## 6. Srovnání jednotlivých variant.

/4/

## 6.1. Maximální stoupavost v závislosti na hmotnosti břemene.

a/ Určení teoretické  $s_{max}$ :

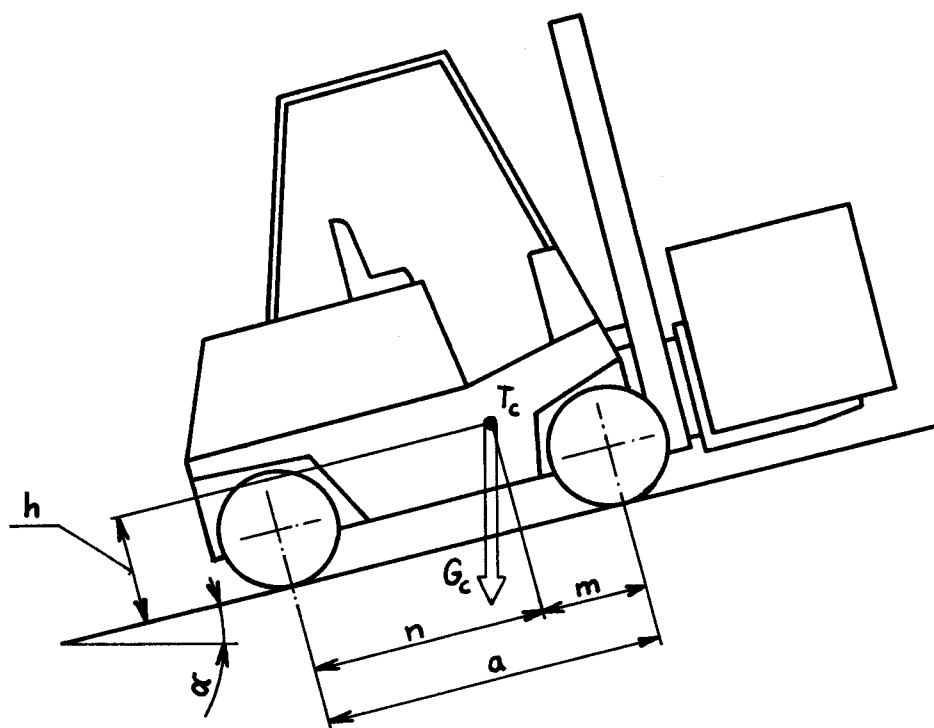
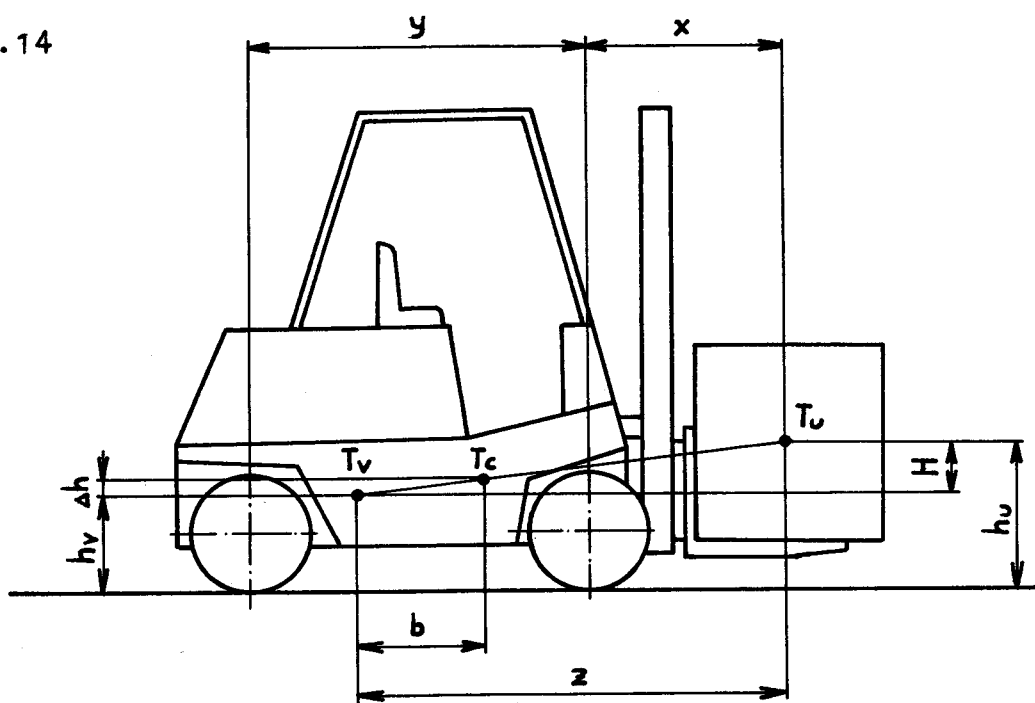
$$F_k = G_c \cdot \sin\alpha + f \cdot \cos\alpha , \quad F_k = F_{kmax} , \quad X = \frac{F_k}{G_c}$$

Tabulka 9.

Řešení č.	$F_k$ [kN]	$v$ [kmh <sup>-1</sup> ]	$m_u$ [kg]	0	500	1000	1500	2000	2500
			$m_c$ [kg]	4000	4500	5000	5500	6000	6500
1	16,00	5,5	X [1]	0,408	0,362	0,326	0,297	0,272	0,251
			$\alpha$ [°]	22,4	19,5	17,3	15,5	14,0	12,8
			s [%]	41,2	35,4	31,2	27,7	24,9	22,7
I.	18,80	4,5	X [1]	0,479	0,426	0,383	0,348	0,319	0,295
			$\alpha$ [°]	26,9	23,5	20,8	18,6	16,9	15,4
			s [%]	50,7	43,5	38,0	33,7	30,4	27,5
2	II.	9,00	X [1]	0,229	0,204	0,184	0,167	0,153	0,141
			$\alpha$ [°]	11,5	10,0	8,9	7,9	7,1	6,4
			s [%]	20,3	17,6	15,7	13,9	12,5	11,2
I.	16,75	1,0	X [1]	0,427	0,379	0,342	0,310	0,285	0,263
			$\alpha$ [°]	23,6	20,6	18,3	16,3	14,9	13,5
			s [%]	43,7	37,6	33,1	29,2	26,6	24,0
3	II.	10,04	X [1]	0,256	0,227	0,205	0,186	0,171	0,157
			$\alpha$ [°]	13,1	11,4	10,1	9,0	8,1	7,2
			s [%]	23,2	20,2	17,8	15,8	14,2	12,6
4	15,60	1,0	X [1]	0,398	0,353	0,318	0,289	0,265	0,245
			$\alpha$ [°]	21,7	18,9	16,8	15,1	13,7	12,4
			s [%]	39,8	34,2	30,2	26,9	24,4	22,0

b / Omezení stoupavosti prokluzem hnacích kol .

obr.14



Pro vozík s přední hnací nápravou :

$$s = \operatorname{tg} \alpha = \frac{\varphi \cdot n - f \cdot a}{\varphi \cdot h + a}$$

$$f = 0,03 ; \quad \varphi = 0,55 \\ \text{/platí pro asfalt a beton/}$$

$h_v = 643 \text{ mm}$  . . . . . výška těžiště samotného vozíku  
 $h_u = 800 \text{ mm}$  . . . . . výška těžiště jmenovitého břemene  
 $a = 1640 \text{ mm}$  . . . . . rozvor  
 $y = 905 \text{ mm}$  . . . . . vodorovná vzdálenost těžiště vozíku  
 od přední osy  
 $x = 980 \text{ mm}$  . . . . . vodorovná vzdálenost těžiště jmenovitého břemene od přední osy

$$G_c = g \cdot m_u + G_v$$

$$G_v = 39240 \text{ N}$$

$$g \cdot m_u = G_u$$

$$b = G_u \cdot z \cdot G_c^{-1}$$

$$z = x + y = 980 + 905 = 1885 \text{ mm}$$

$$m = y - b$$

$$n = a - m$$

$$\Delta h = -\frac{H}{z} \cdot b$$

$$H = h_u - h_v = 800 - 643 = 157 \text{ mm}$$

$$h = h_v + \Delta h$$

Hodnoty vypočtené podle těchto vztahů jsou uvedeny v tabulce 10.  
Tabulka 10

$m_u [\text{kg}]$	0	500	1000	1500	2000	2500
$G_c [\text{N}]$	39240	44145	49050	53955	58860	63765
$b [\text{mm}]$	0	209	337	514	628	725
$m [\text{mm}]$	905	696	568	391	277	180
$n [\text{mm}]$	735	944	1072	1249	1363	1460
$\Delta h [\text{mm}]$	0	17	28	43	52	60
$h [\text{mm}]$	643	660	671	686	695	703
$\operatorname{tg}\alpha [1]$	0,178	0,235	0,269	0,316	0,346	0,372
$\alpha [^\circ]$	10,10	13,21	15,06	17,54	19,11	20,40
$s [\%]$	17,8	23,5	26,9	31,6	34,6	37,2

c / Grafické porovnání jednotlivých variant :

Diagram 10 . . . maximální využitelná stoupavost v závislosti na hmotnosti břemene.

Diagram 11 . . . porovnání jednotlivých tahových charakteristik.

$s [\%]$

Diagram 10.

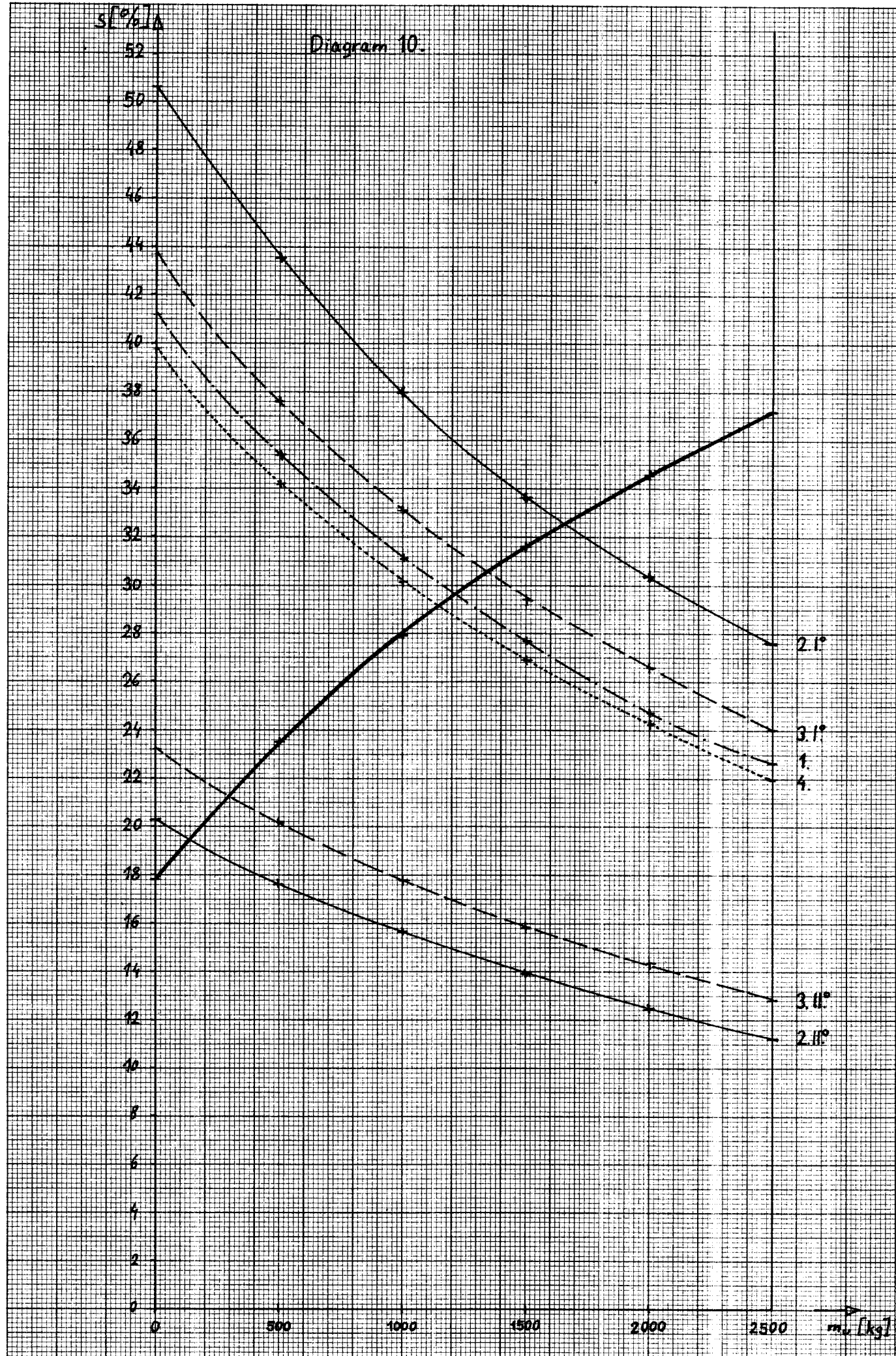
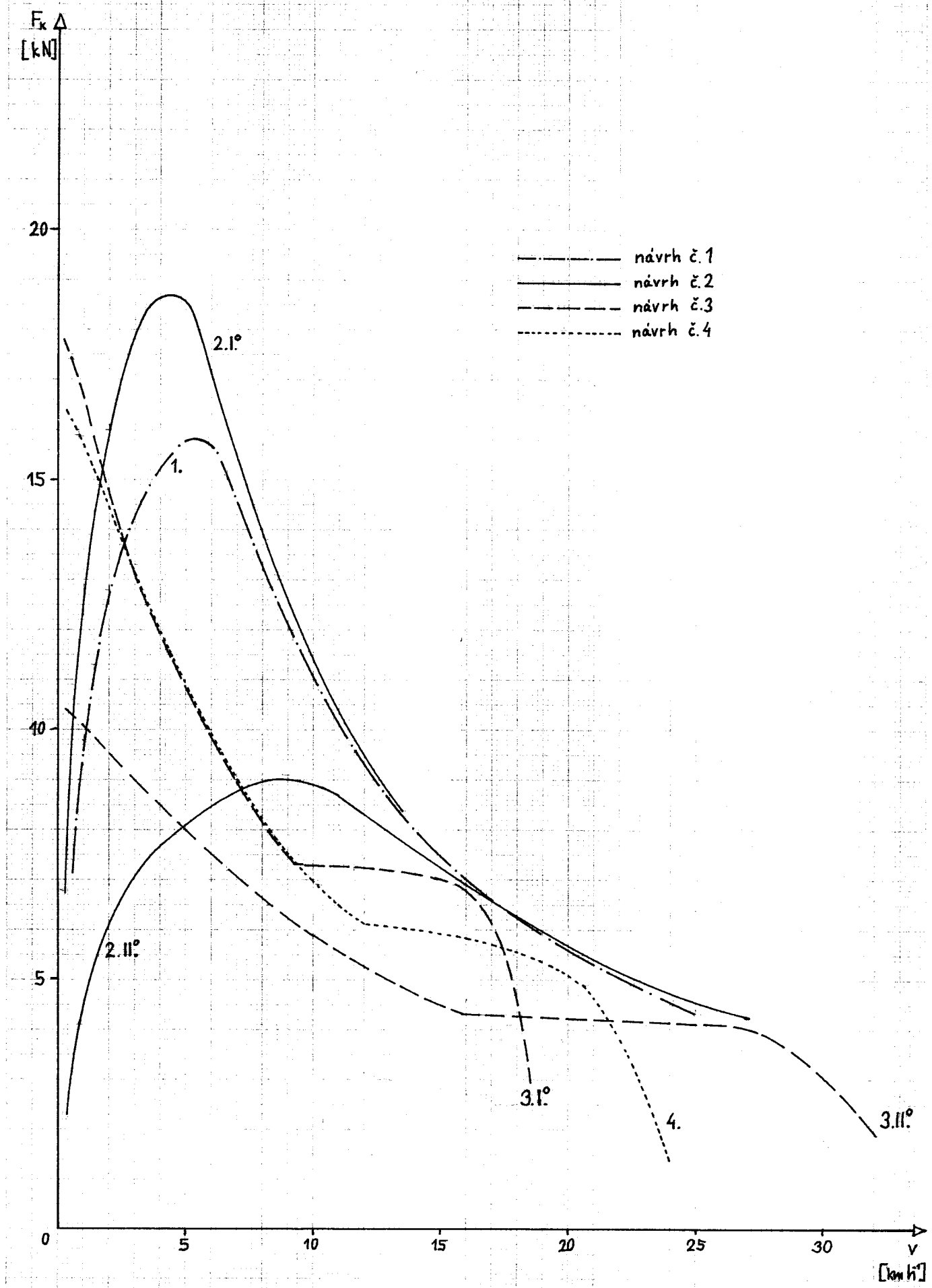


Diagram 11.



## 6.2. Zhodnocení

Všechna navrhovaná řešení jsou použitelná, jsou vybrána z většího množství variant, z nichž se některé během řešení ukázaly jako nevhodné.

Oba základní systémy - hydrostatický a hydrodynamický, mají své výhody a nevýhody, bylo by však dobré vyrábět vysoko-zdvizné vozíky v obou provedeních, protože zvláště zahraniční zákazníci požadují jak hydrostatický tak hydrodynamický pohon, tak jak jsou na některý z nich zvyklí, nebo podle toho, který se jim jeví výhodnější. Výrobou obou provedení vozíků by se zvýšila jejich konkurenceschopnost a prodejnost ve světě.

Z tahových charakteristik je zřejmé, že po dosažení rychlosti asi  $2 \text{ kmh}^{-1}$  je výhodnější hydrostatický přenos. Ten je ovšem značně dražší a náročnější na údržbu, ale naopak jednoduší pro obsluhu /rychlosť i smysl pohybu se řídí jedinou pákou, udržuje nastavenou rychlosť, nedá se přetížit/. Hydrostatický přenos se také zdá být perspektivnější, zvláště v provedení "hydrokolo", ale vzhledem k nejčastějšímu pracovnímu režimu vozíků velmi dobře využívá i hydrodynamický přenos.

U hydrodynamického přenosu se využívá jen část otáčkového rozsahu spalovacího motoru a je možné tento rozsah vhodnou volbou měniče ovlivnit. Naopak u hydrostatického přenosu se využívá celý rozsah a téměř maximální tahové síly se dosahuje už při nízkých otáčkách motoru.

Rozdíl mezi návrhy č. 1 a 2 je podle tahové charakteristiky celkem malý. Hmotnostní rozdíl se nedá přesně určit, ale také nebude velký. V případě použití "hydrokola" sice odpadá diferenciál, ale zůstávají kolové redukce a navíc jsou zde dva hydromotory, objemově poloviční, ovšem každý má hmotnost asi tři čtvrtiny hmotnosti hydromotoru s dvojnásobným objemem. Menší hydromotory v "hydrokole" mají výhodu větších maximálních otáček.

Rozdíl mezi návrhy č. 3 a 4 je již větší, ale varianta 4 i přes nižší hodnoty je výhodná zvláště svojí jednoduchostí.

Při konstrukci tahových charakteristik je počítáno se 100% zatížením, provozní oblast je tedy pod těmito křivkami. Hodnoty stoupavostí a sil na kolech v tahových charakteristikách představují také dynamické vlastnosti vozíku a udávají i tahovou sílu.

Pokud jde o splnění původně stanovených požadavků, všechny návrhy vyhovují minimální stoupavostí při maximální rychlosti, minimální provozní rychlosti i maximální stoupavostí, překračující 20%. Maximální požadovanou rychlosť  $25 \text{ kmh}^{-1}$  nesplňuje jen návrh č. 4 s hodnotou  $22 \text{ kmh}^{-1}$ , ovšem i tato rychlosť je vyšší než u vysokozdvižných vozíků vyráběných v současné době u nás. Také ostatní parametry navrhovaných řešení jsou vyšší nebo alespoň srovnatelné s parametry vysokozdvižných vozíků zahraničních výrobců. Velmi výhodná je především nízká minimální provozní rychlosť, která může značně zpřesnit a zkvalitnit manipulační operace.

Použitá literatura :

1. Semetko J.: Traktory a automobily, Praha, I978.
2. Ludačka J. a kolektiv : Motorové dopravní vozíky, NADAS Praha, I969.
3. Paldus J. : Trakční charakteristiky DV 320 s jedno-stupňovou převodovkou a DV 32I , / vývojová zpráva /, Desta n.p. Děčín, I975.
4. Přednášky SPD, VŠST Liberec, I985/I986.
5. Firemní literatura ZTS Dubnica n. Váhom.
6. Firemní literatura Desta n.p. Děčín.
7. Firemní literatura firem : Climax, Linde, Clark, Balcancar, Hyster, Lansing, Lancer Boss.
8. Koudelka V. : Použití hydraulického a elektrického přenosu energie u vysokozdvižných vozíků.  
/Diplomová práce/ VŠST Liberec.